

Lemme de l'ombre et non divergence des horosphères d'une variété géométriquement finie

Barbara SCHAPIRA

*MAPMO, Université d'Orléans, Rue de Chartres,
BP 6759, 45067 Orléans cedex 2, France
schapira@labomath.univ-orleans.fr*

11 août 2018

Résumé

Dans ce travail, nous démontrons le Lemme de l'Ombre sur des variétés géométriquement finies à courbure négative variable. Nous en déduisons un résultat de non divergence des horosphères de telles variétés.

1 Introduction

Soit M une variété riemannienne à courbure négative. Le flot géodésique agissant sur son fibré unitaire tangent T^1M est un flot hyperbolique ; en particulier, T^1M est feuilleté par les variétés fortement instables de ce flot, encore appelées *horosphères fortement instables*.

Si M est une surface hyperbolique, les feuilles de ce feuilletage sont les orbites du flot horocyclique $(h^t)_{t \in \mathbf{R}}$ agissant sur T^1M . On sait que lorsque M est compacte, ce flot est minimal : les orbites sont toutes denses dans T^1M . Quand elle est seulement de volume fini, certaines orbites sont périodiques, les autres sont denses dans T^1M (Hedlund [14]). En particulier, leur projection sur M revient infiniment souvent dans la partie compacte de la variété. Ce résultat qualitatif de retour dans un compact a été étendu par Margulis [17] à l'action de flots unipotents sur l'espace des réseaux $\Lambda_n = SL(n, \mathbf{R})/SL(n, \mathbf{Z})$.

Ce fut Dani qui, le premier, précisa ce comportement en une estimée quantitative : dans le cas du flot horocyclique d'une surface hyperbolique dans [8], puis dans le cas d'un flot unipotent sur Λ_n dans [9], il montre que pour tout $\epsilon > 0$, il existe un compact K_ϵ de T^1M tel qu'une orbite non périodique de $(h^t)_{t \in \mathbf{R}}$ de longueur T suffisamment grande passe un temps supérieur à $(1 - \epsilon)T$ dans K_ϵ . Rappelons que ce résultat, dit de non divergence, est un outil essentiel dans le théorème d'équidistribution des flots unipotents de Ratner.

Dans un cadre différent, mentionnons encore le résultat de Minsky et Weiss [18] de non divergence des orbites du flot horocyclique de Teichmüller.

Le but du présent travail est d'établir l'analogie de ce phénomène de non divergence en l'étendant dans plusieurs directions : nous considérons des variétés qui sont d'une part de dimension quelconque, d'autre part de courbure négative variable, et enfin qui sont géométriquement finies de volume infini.

Nous établissons un résultat de ce type sur des variétés de volume infini à courbure variable majorée par -1 . Dans ce cadre plus général, nous restreignons notre étude à l'ensemble non errant \mathcal{E} du feuilletage horosphérique de T^1M . On sait alors (Dal'bo [6]) que certaines feuilles de \mathcal{E} sont compactes, et les autres sont denses dans \mathcal{E} . En particulier, leur projection sur M revient infiniment souvent dans la partie compacte de la variété. Notons $\mathcal{E}_R \subset \mathcal{E}$ l'union de ces feuilles denses dans \mathcal{E} .

En l'absence de paramétrage naturel de ces feuilles par un flot, nous considérons sur chaque feuille de grandes boules notées $B^+(u, r)$, avec $r > 0$, pour une distance adaptée.

Pour donner un sens au « temps passé » par une feuille dans un compact, nous étudions le comportement de moyennes sur ces boules pour une mesure, notée μ_{H^+} sur chaque feuille H^+ , construite à partir d'une mesure naturelle sur le bord $\partial\widehat{M}$ du revêtement universel \widehat{M} de M , la *mesure de Patterson*.

Plus précisément, si $u \in T^1M$ et $r > 0$, nous définissons la moyenne d'une fonction $\psi : T^1M \rightarrow \mathbf{R}$ continue par :

$$M_{r,u}(\psi) := \oint_{B^+(u,r)} \psi(v) d\mu_{H^+}(v).$$

Sous une condition de divergence des cusps de M , notée $(*)$ et énoncée plus loin, notre résultat principal est le suivant :

Théorème 4.2 : *Soit M une variété géométriquement finie de courbures sectionnelles majorées par -1 dont les cusps vérifient la condition $(*)$. Soit $\varepsilon > 0$ fixé, et $C \subset T^1M$ un compact de l'ensemble non errant du feuilletage horosphérique. Il existe un compact $K_{\varepsilon,C} \subset \mathcal{E}$, tel que pour tout vecteur non errant u de $\mathcal{E}_R \cap C$ et pour tout $r \geq 0$, on a :*

$$M_{r,u}(K_{\varepsilon,C}) \geq 1 - \varepsilon$$

Ce résultat assure en particulier que les moyennes $(M_{r,u})_{r \geq 0}$ ne tendent pas faiblement vers 0 quand $r \rightarrow \infty$. Autrement dit, il n'y a aucune perte de masse dans les cusps.

Notons que ce résultat de non divergence a été démontré par Rudolph [25] en courbure constante, mais seulement pour presque tout $u \in \mathcal{E}_r$ (pour la mesure de Patterson-Sullivan), ce qui lui a permis d'en déduire l'ergodicité du feuilletage.

Pour établir ce résultat, il nous faudra donner une estimée précise de la mesure de Patterson de petits ouverts du bord, les *ombres*. Ce résultat, appelé *Lemme de l'Ombre*, est originellement dû à Sullivan sur les variétés hyperboliques compactes, et a été étendu à toutes les variétés compactes ou convexes-cocompactes à courbure négative variable, permettant alors de réinterpréter la

mesure de Patterson comme la mesure de Hausdorff de l'ensemble limite Λ_Γ de Γ dans $\partial\widetilde{M}$. Stratmann et Velani [26] l'ont généralisé sur les variétés hyperboliques géométriquement finies, et nous adaptons une preuve de leur résultat due à Peigné [21] pour l'établir sur les variétés géométriquement finies de courbure variable inférieure à -1 qui satisfont la condition (*) énoncée ci-dessous.

Précisons d'abord quelques notations. Plutôt que les ombres considérées par Sullivan, nous considérerons des ensembles comparables : si o est un point de \widetilde{M} , ξ un point du bord $\partial\widetilde{M}$, et $t \geq 0$, nous noterons $V(o, \xi, t)$ l'ensemble des points du bord dont le projeté sur le rayon $[o\xi)$ est à distance au moins t de o .

Sur une variété géométriquement finie, l'ensemble intéressant d'un point de vue dynamique se décompose en une partie compacte et un nombre fini de pointes, les *cusps*. Pour simplifier, nous supposerons qu'elle n'en a qu'un seul. A ce cusp est associée une classe de conjugaison de sous-groupes paraboliques de Γ , i.e. des sous-groupes de Γ fixant exactement un point de Λ_Γ , et maximaux pour cette propriété.

Nous aurons besoin de faire l'hypothèse suivante, notée (*), sur la croissance des sous-groupes paraboliques de Γ . Si $o \in \widetilde{M}$ est un point fixé, pour tout sous-groupe parabolique Π de Γ , il existe une constante $D \geq 1$ telle que

$$\frac{1}{D} \exp(\delta_\Pi T) \leq \#\{p \in \Pi, d(o, po) \in [T, T+1]\} \leq D \exp(\delta_\Pi T), \quad (*)$$

où pour tout sous-groupe G de Γ , δ_G désigne l'*exposant critique* de G , défini par :

$$\delta_G = \limsup_{T \rightarrow \infty} \frac{1}{T} \log \#\{g \in G, d(o, go) \leq T\}$$

En particulier, $\delta_G \leq \delta_\Gamma$. Nous verrons plus loin (proposition 3.1) que cette hypothèse est toujours satisfaite si M est une variété localement symétrique de rang 1.

Une *densité conforme invariante* par Γ de dimension $\delta > 0$ est une famille $\nu = (\nu_x)_{x \in \widetilde{M}}$ de mesures équivalentes sur le bord $\partial\widetilde{M}$, telles que pour tout $\gamma \in \Gamma$ et $x \in \widetilde{M}$, $\nu_{\gamma x} = \gamma_* \nu_x$, et pour tous $(x, y) \in \widetilde{M}^2$, $d\nu_x(\xi) = \exp(-\delta\beta_\xi(x, y)) d\nu_y(\xi)$, où $\beta_\xi(x, y)$ désigne le cocycle de Busemann (voir paragraphe 2.1)

Le Lemme de l'Ombre s'énonce alors :

Théorème 3.4 : *Soit $M = \widetilde{M}/\Gamma$ une variété géométriquement finie à un cusp C_1 qui satisfait l'hypothèse (*). Alors pour toute densité conforme $\nu = (\nu_x)_{x \in \widetilde{M}}$ Γ -invariante sans atomes normalisée de dimension δ et de support Λ_Γ , il existe des constantes $A_0 > 0$ et $A_1 > 0$ telles que pour tout $\xi \in \Lambda_\Gamma$ et $t \geq 0$, en notant $\xi(t)$ le point à distance t de o sur $[o\xi)$:*

a- *si $\xi(t)$ appartient à un relevé de la partie compacte sur \widetilde{M} , alors*

$$\frac{1}{A_0} e^{-\delta t} \leq \nu_o(V(o, \xi, t)) \leq A_0 e^{-\delta t},$$

b- *si $\xi(t)$ est dans un relevé du cusp, alors :*

$$\frac{1}{A_1} e^{-\delta t + (2\delta_\Pi - \delta) d(\xi(t), \Gamma o)} \leq \nu_o(V(o, \xi, t)) \leq A_1 e^{-\delta t + (2\delta_\Pi - \delta) d(\xi(t), \Gamma o)}.$$

L'organisation du texte est la suivante : nous commençons (section 2) par une introduction aux variétés géométriquement finies, et nous prouvons une série de lemmes géométriques élémentaires utiles dans la suite. Au paragraphe 3, nous énonçons et démontrons le Lemme de l'Ombre (théorème 3.4). Dans la dernière partie (section 4), après des rappels sur le feuilletage fortement instable et les moyennes qui nous intéressent, nous prouvons le théorème 4.2.

Je remercie ma directrice de thèse Martine Babillot pour m'avoir fait découvrir de belles mathématiques pendant ma thèse, et pour ses lectures, commentaires et corrections de nombreuses versions préliminaires de ce travail.

2 Variétés géométriquement finies

2.1 Généralités

Nous renvoyons à Bowditch [3] pour un exposé complet sur les variétés géométriquement finies à courbure négative pincée, et à Roblin [23] pour des compléments dans le cas des variétés à courbure seulement majorée ; nous n'exposons ici que ce dont nous avons besoin.

Soit M une variété riemannienne à courbure sectionnelle majorée par -1 , \widetilde{M} son revêtement universel, et $\Gamma = \pi_1(M)$ son groupe fondamental. Notons T^1M le fibré unitaire tangent de M , et $\pi : T^1M \rightarrow M$ la projection canonique. Nous noterons d la distance riemannienne sur M et \widetilde{M} .

Le bord à l'infini $\partial\widetilde{M}$ de \widetilde{M} permet de compactifier \widetilde{M} en $\overline{\widetilde{M}} = \widetilde{M} \cup \partial\widetilde{M}$. Le groupe Γ agit sur \widetilde{M} par isométries, et sur $\partial\widetilde{M}$ par homéomorphismes. L'ensemble limite $\Lambda_\Gamma \subset \partial\widetilde{M}$ de Γ est le plus petit fermé Γ -invariant de $\partial\widetilde{M}$. C'est aussi l'ensemble des points d'accumulation dans $\partial\widetilde{M}$ de l'orbite d'un point quelconque $o \in \widetilde{M}$ par $\Gamma : \Lambda_\Gamma = \overline{\Gamma o} \setminus \Gamma o$.

Le flot géodésique $g = (g^t)_{t \in \mathbf{R}}$ de M agit sur T^1M en associant à un vecteur v le vecteur $\dot{c}_v(t)$ tangent à l'unique géodésique $(c_v(t))_{t \in \mathbf{R}}$ telle que $\dot{c}_v(0) = v$. Il se relève sur $T^1\widetilde{M}$ en le flot géodésique de \widetilde{M} , noté $\tilde{g} = (\tilde{g}^t)_{t \in \mathbf{R}}$. L'ensemble non errant $\Omega \subset T^1M$ du flot géodésique s'identifie (Eberlein, [10]) à l'ensemble des vecteurs $v \in T^1M$ dont un relevé $\tilde{v} \in T^1\widetilde{M}$ définit une géodésique dont les deux extrémités sont dans Λ_Γ .

Un point ξ de l'ensemble limite Λ_Γ est dit *radial* s'il existe un point $o \in \widetilde{M}$ et une infinité de points de l'orbite Γo à distance bornée du rayon $[o\xi]$. L'ensemble des points limite radiaux sera noté $\Lambda_R \subset \Lambda_\Gamma$.

Si $\xi \in \Lambda_\Gamma$ est l'unique point fixe d'une isométrie parabolique de Γ , il est dit *parabolique*. Le stabilisateur dans Γ d'un tel point sera appelé un *sous-groupe parabolique maximal*. Le point ξ est *parabolique borné* si son stabilisateur $\Pi \subset \Gamma$ agit de manière cocompacte sur $\Lambda_\Gamma \setminus \{\xi\}$. Nous noterons Λ_{pb} l'ensemble des points paraboliques bornés de Λ_Γ .

Le groupe Γ est dit *cocompact* si \widetilde{M} est compacte, ce qui implique que $\Omega = T^1M$ est compact, et $\Lambda_\Gamma = \Lambda_R = \partial\widetilde{M}$. Il est dit *convexe-cocompact* si Ω est

compact, et dans ce cas $\Lambda_\Gamma = \Lambda_R$. Enfin, il est *géométriquement fini* si $\Lambda_\Gamma = \Lambda_R \cup \Lambda_{pb}$.

Le *cocycle de Busemann* est défini sur $\partial\widetilde{M} \times \widetilde{M} \times \widetilde{M}$ par :

$$\beta_\xi(x, y) = \lim_{z \rightarrow \xi} d(x, z) - d(y, z) = "d(x, \xi) - d(y, \xi)"$$

C'est une fonction continue qui vérifie la relation de cocycle : $\beta_\xi(x, y) + \beta_\xi(y, z) = \beta_\xi(x, z)$. Ce cocycle permet de donner des coordonnées sur $T^1\widetilde{M}$. Si $u \in T^1\widetilde{M}$, on notera $u^+ \in \partial\widetilde{M}$ (resp. u^-) l'extrémité $c_u(+\infty)$ (resp. $c_u(-\infty)$) de l'unique géodésique c_u telle que $\dot{c}_u(0) = u$. L'ensemble des géodésiques orientées de $T^1\widetilde{M}$ est en bijection avec le « double bord » $\partial^2\widetilde{M} := \partial\widetilde{M} \times \partial\widetilde{M} \setminus \{(\xi, \xi), \xi \in \partial\widetilde{M}\}$. Soit $o \in \widetilde{M}$ un point fixé une fois pour toutes. Alors l'application ci-dessous est un homéomorphisme :

$$\begin{aligned} T^1\widetilde{M} &\rightarrow \partial^2\widetilde{M} \times \mathbf{R} \\ v &\mapsto (v^-, v^+, \beta_{v^-}(\pi(v), o)) \end{aligned}$$

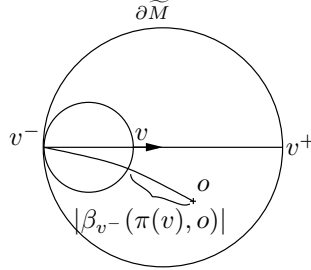


FIG. 1 – Coordonnées sur $T^1\widetilde{M}$

Sur $\partial^2\widetilde{M} \times \mathbf{R}$, les actions de Γ et de \tilde{g} commutent et s'écrivent :

$$\gamma(u^-, u^+, s) = (\gamma u^-, \gamma u^+, s + \beta_{u^-}(o, \gamma^{-1}o)) \quad \text{et} \quad \tilde{g}^t(u^-, u^+, s) = (u^-, u^+, s + t)$$

Ainsi on a aussi des homéomorphismes $T^1M \simeq (\partial^2\widetilde{M} \times \mathbf{R})/\Gamma$ et $\Omega \simeq (\Lambda_\Gamma^2 \times \mathbf{R})/\Gamma$.

Une *horosphère* $H \subset \widetilde{M}$ centrée en ξ est une ligne de niveau de l'application $y \rightarrow \beta_\xi(y, o)$. Une *horoboule* $\mathcal{H} \subset \widetilde{M}$ centrée en ξ est un sous-ensemble $\mathcal{H} = \{y \in \widetilde{M}, \beta_\xi(y, o) \leq C\}$, avec $C \in \mathbf{R}$. C'est un ensemble géodésiquement convexe de \widetilde{M} .

Notons $\tilde{C}(\Gamma)$ l'enveloppe convexe dans \widetilde{M} de l'ensemble limite Λ_Γ . Le *coeur de Nielsen* N_Γ de M (ou de Γ) est le quotient $N_\Gamma = \tilde{C}(\Gamma)/\Gamma$. La variété M est géométriquement finie si et seulement si il se décompose en une union finie (voir Bowditch [3] en courbure pincée, et Roblin [23] Prop. 1.10 dans le cas général) :

$$N_\Gamma = C_0 \sqcup C_1 \dots \sqcup C_k,$$

où C_0 est un ensemble relativement compact, de diamètre noté Δ , et les C_l , $1 \leq l \leq k$ (en nombre fini) sont les *cusps* : pour chaque l , C_l est isométrique au quotient de $\mathcal{H}^l \cap \tilde{C}(\Gamma)$ par Π_l , où \mathcal{H}^l est une horoboule centrée en un point parabolique ξ^l , et Π_l est le stabilisateur de ξ^l . Nous noterons $\tilde{C}_l = \mathcal{H}^l \cap \tilde{C}(\Gamma)$ l'ensemble relevé à \tilde{M} . Les images de \mathcal{H}^l par Γ sont disjointes ou confondues. De plus, si $l \neq l'$, les orbites $\Gamma\mathcal{H}^l$ et $\Gamma\mathcal{H}^{l'}$ sont disjointes.

En pratique, nous considérerons plutôt la décomposition ci-dessus sur \tilde{M} , notée de la manière suivante :

$$\tilde{C}(\Gamma) = \Gamma\tilde{C}_0 \sqcup \Gamma\tilde{C}_1 \dots \sqcup \Gamma\tilde{C}_k.$$

Notons en particulier que si o est un point fixé de \tilde{C}_0 , son orbite Γo reste dans $\Gamma\tilde{C}_0$, et n'intersecte donc pas les orbites $\Gamma\mathcal{H}^l$ des horoboules \mathcal{H}^l .

2.2 Projections

Dans toute la suite, les géodésiques seront paramétrées à vitesse 1, et le paramétrage d'un rayon $[x\xi]$, avec $x \in \tilde{M}$ et $\xi \in \partial\tilde{M}$ sera noté $(\xi_x(t))_{t \geq 0}$. Nous renvoyons à Bowditch [3] pour un exposé complet.

Rappelons que sur une variété d'Hadamard \tilde{M} , i.e. une variété riemannienne simplement connexe à courbure négative ou nulle (ou plus généralement sur un espace $CAT(0)$), la fonction $t \rightarrow d(x, c(t))$, distance d'un point $x \in \tilde{M}$ à une géodésique $(c(t))_{t \in \mathbf{R}}$ est une fonction propre et strictement convexe. Ceci permet de définir le *projeté* de x sur la géodésique c comme l'unique point $c(t_0)$ qui réalise le minimum de $c(t)$.

Si de plus \tilde{M} est une variété à courbure majorée par -1 (ou plus généralement un espace $CAT(-1)$), alors ceci s'étend aux points ξ du bord $\partial\tilde{M}$ de \tilde{M} . Plus précisément, si $\xi \in \partial\tilde{M}$, alors pour tout $y \in \tilde{M}$ fixé, la fonction $t \rightarrow \beta_\xi(c(t), y)$ est strictement convexe, et l'instant t_0 où elle atteint son minimum ne dépend pas de y . Le projeté $c(t_0)$ de ξ sur $(c(t))_{t \in \mathbf{R}}$ est donc encore bien défini.

Pour les mêmes raisons de convexité, on peut également définir le projeté d'un point $x \in \tilde{M} \cup \partial\tilde{M}$ sur un segment géodésique $[yz]$, ou un rayon géodésique $[y\xi]$.

Remarquons enfin que si $[x\xi]$ et $[x\eta]$ sont deux rayons géodésiques, alors les fonctions $t \in \mathbf{R}^+ \rightarrow d(\xi_x(t), \eta_x(t))$ et $t \in \mathbf{R}^+ \rightarrow d(\xi_x(t), [x\eta])$ sont également strictement convexes.

2.3 Espaces hyperboliques au sens de Gromov

La structure de variété riemannienne de M n'est pas essentielle dans tout ce travail. En revanche, nous utiliserons de manière cruciale le fait que \tilde{M} est un espace hyperbolique au sens de Gromov, cadre détaillé ci-dessous, dans lequel tout ce qui précède reste vrai.

Rappelons d'abord que si (a, b, c) est un triangle géodésique de \tilde{M} , le *triangle intérieur* (p, q, r) à (a, b, c) est défini comme l'unique triangle vérifiant $p \in [bc]$,

$q \in [ac]$, $r \in [ab]$, et $d(a, r) = d(a, q)$, $d(b, p) = d(b, r)$ et $d(c, p) = d(c, q)$. Si un (ou plusieurs) des sommets, par exemple a est sur le bord $\partial\widetilde{M}$, le triangle intérieur reste bien défini, à condition de remplacer la condition $d(a, q) = d(a, r)$ par $\beta_a(q, r) = 0$. Autrement dit, dans ce cas, les points q et r sont sur la même horosphère centrée en a . Nous noterons aussi p', q', r' les projetés respectifs des sommets a, b et c sur le côté opposé.

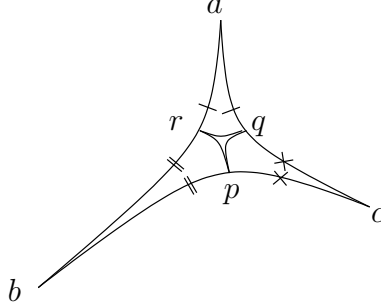


FIG. 2 – Les triangles de \widetilde{M} sont fins

Le fait que la courbure de \widetilde{M} soit majorée par -1 s'exprime dans la proposition suivante :

Proposition 2.1 ([12], [4]) *Il existe une constante $\alpha \geq 0$, telle que \widetilde{M} est un espace α -hyperbolique au sens de Gromov : tout triangle géodésique (a, b, c) de $\widetilde{M} \cup \partial\widetilde{M}$ a un triangle intérieur (p, q, r) de diamètre inférieur à α .*

De plus, on peut choisir α de sorte que les distances $d(p, p')$, $d(q, q')$ et $d(r, r')$ entre les projetés des sommets et les sommets du triangle intérieur soient toutes inférieures à α .

L'hyperbolicité permet de bien contrôler le défaut d'égalité dans l'inégalité triangulaire $d(b, c) \leq d(a, b) + d(a, c)$. D'un point de vue riemannien, si l'angle au sommet a est minoré par $\theta > 0$, il existe une constante $C(\theta)$, telle que $d(a, b) + d(a, c) - d(b, c) \leq C(\theta)$. Réciproquement, si $d(a, b) + d(a, c) - d(b, c) \leq c$, et si les côtés du triangle ne sont pas trop petits, alors l'angle au sommet a est minoré par une constante $\theta(c)$. Bien que plus visuels, les angles riemanniens sont en fait plus difficiles à manipuler que des distances, et nous préférons donc l'énoncé ci-dessous :

Lemme 2.2 *Soit (a, b, c) un triangle géodésique de \widetilde{M} , et $C > 0$. Si $d(a, [bc]) \leq C$, alors $d(a, b) + d(a, c) - d(b, c) \leq 2C$. Réciproquement, si $d(a, b) + d(a, c) - d(b, c) \leq C$, alors $d(a, [bc]) \leq \frac{C}{2} + \alpha$.*

Ceci reste vrai si b ou c est un point du bord, en remplaçant $d(a, b) + d(a, c) - d(b, c)$ par $\beta_b(a, x) + \beta_c(a, x)$, pour tout $x \in (b, c)$.

Démonstration: Par définition du triangle intérieur, on a $d(a, b) + d(a, c) - d(b, c) = 2d(a, r)$. Puisque $d(a, [bc]) \leq d(a, r) + \alpha$, on en déduit la deuxième partie du lemme.

Notons maintenant p' le projeté de a sur $[bc]$, et supposons que $d(a, p') = d(a, [bc]) \leq C$. Alors on a :

$$0 \leq d(a, b) + d(a, c) - d(b, c) = d(a, b) - d(p', b) + d(a, c) - d(p', c) \leq 2d(a, p') \leq 2C.$$

□

Si le projeté de a sur $[bc]$ est b , alors il est clair que l'angle au sommet b est supérieur ou égal à $\pi/2$. En termes de distances, ceci se réécrit :

Lemme 2.3 *Soit (a, b, c) un triangle géodésique de \widetilde{M} , et p' le projeté de a sur le côté $[bc]$. Si $p' = b$, alors la distance de b à $[ac]$ est inférieure à 2α . Réciproquement, si cette distance est inférieure à 2α , alors la distance de p' à b est au plus 3α .*

Ce lemme se généralise immédiatement au cas où a est un point du bord, à condition d'utiliser les fonctions de Busemann au lieu de la distance.

Démonstration: D'après la proposition 2.1, on a d'une part $d(b, [ac]) \leq d(b, p) + \alpha$, et d'autre part $d(p, p') \leq \alpha$. Si $b = p'$, on trouve immédiatement $d(b, [ac]) \leq 2\alpha$.

Réciproquement, si $d(b, [ac]) \leq 2\alpha$, le lemme 2.2 donne $2d(b, p) = d(b, a) + d(b, c) - d(a, c) \leq 4\alpha$, et d'après la proposition 2.1, $d(p, p') \leq \alpha$, ce qui montre bien que la distance de b à p' est au plus 3α . □

2.4 Voisinsages d'un point du bord

Il existe plusieurs familles équivalentes de voisinages d'un point ξ du bord. Nous n'en utiliserons qu'une, mais nous les définissons toutes, de manière à donner une bonne image de ce que signifie « être proche » pour deux points du bord. Dans ce qui suit, on considère un point x de \widetilde{M} , un point ξ du bord $\partial\widetilde{M}$, et on note toujours $(\xi_x(t))_{t \geq 0}$ la paramétrisation à vitesse 1 du rayon $[x\xi]$.

Les voisinages les plus célèbres de ξ sont sans doute les *ombres* de Sullivan. On fixe un réel $r > 0$, et pour $x \in \widetilde{M}$, $\xi \in \partial\widetilde{M}$ et $t > 0$, on définit $\mathcal{O}(x, \xi, t)$ comme l'ombre faite sur le bord par la boule de centre $\xi_x(t)$ et de rayon r vue du point x , soit encore l'ensemble des $\eta \in \partial\widetilde{M}$ tels que le rayon $[x\eta]$ intersecte la boule $B(\xi_x(t), r)$.

On peut également considérer les boules de la famille $(d_x)_{x \in \widetilde{M}}$ des *distances de Gromov*, ou distances visuelles sur le bord, définies pour tout $x \in \widetilde{M}$ et tous $(\xi, \eta) \in \partial^2\widetilde{M}$ par :

$$d_x(\xi, \eta) = \exp\left(-\frac{1}{2}\beta_\xi(x, y) - \frac{1}{2}\beta_\eta(x, y)\right), \quad \text{avec } y \in (\xi\eta).$$

C'est ici que nous nous servons du fait que la courbure de \widetilde{M} est majorée par -1 ; en effet, si elle est inférieure à $-b^2$ avec $b < 1$, les quantités ci-dessus sont toujours définies mais ne satisfont plus l'inégalité triangulaire, voir [2]. Nous noterons $B_x(\xi, r)$ la boule de centre ξ et de rayon r pour la distance d_x .

Les voisinages de Hamenstädt sont définis comme suit : $\mathcal{D}(x, \xi, t)$ est l'ensemble des points $\eta \in \partial\widetilde{M}$ tels que la distance de $\xi_x(t)$ à $\eta_x(t)$ est inférieure à α . La proposition suivante montre que ces trois familles de voisinages sont pratiquement les mêmes :

Proposition 2.4 (Kaimanovich, [16]) *Soit \widetilde{M} une variété de Hadamard à courbures sectionnelles majorées par -1 . Il existe des constantes $c_1 \geq 1$ et $c_2 \geq 1$ telles que pour tous $x \in \widetilde{M}$, $\xi \in \partial\widetilde{M}$ et $t \geq 0$, on ait :*

$$B_x(\xi, \frac{1}{c_1}e^{-t}) \subset \mathcal{O}(x, \xi, t) \subset B_x(\xi, c_1 e^{-t}), \quad \text{et}$$

$$B_x(\xi, \frac{1}{c_2}e^{-t}) \subset \mathcal{D}(x, \xi, t) \subset B_x(\xi, c_2 e^{-t}).$$

Pour les besoins de la preuve du théorème 3.4, il sera utile de travailler avec un dernier type de voisinages. Définissons $V(x, \xi, 0)$ comme l'ensemble des points $\eta \in \partial\widetilde{M}$ dont le projeté sur la géodésique $(x\xi)$ appartient en fait au rayon $[x\xi]$, et si $t \geq 0$, $V(x, \xi, t) \subset V(x, \xi, 0)$ comme l'ensemble de ceux qui se projettent sur $[\xi_x(t)\xi]$, i.e. à distance strictement supérieure à t de x . Le lemme suivant montre qu'ils sont encore comparables aux voisinages définis ci-dessus :

Lemme 2.5 *Pour tout $x \in \widetilde{M}$, $\xi \in \partial\widetilde{M}$, et $t \geq 2\alpha$, on a :*

$$V(x, \xi, t + \alpha) \subset \mathcal{D}(x, \xi, t) \subset V(x, \xi, t - 2\alpha).$$

Notons que même en courbure constante égale à -1 , ces voisinages ne coïncident pas exactement les uns avec les autres. Par exemple, on peut montrer que si $t \geq 0$, $V(x, \xi, t) = B_x(\xi, \frac{e^{-t}}{\sqrt{1 + e^{-2t}}})$.

Démonstration du lemme 2.5: Soit tout d'abord η un point de $\mathcal{D}(x, \xi, t)$, qui vérifie donc $d(\xi_x(t), \eta_x(t)) \leq \alpha$. Notons u_0 le minimum de la fonction $\varphi(u) = \beta_\eta(\xi_x(u), \eta_x(t))$. Le point $\xi_x(u_0)$ est donc le projeté de η sur le rayon $[x\xi]$. L'inégalité triangulaire donne $\varphi(t) = \beta_\eta(\xi_x(t), \eta_x(t)) \leq d(\xi_x(t), \eta_x(t)) \leq \alpha$. D'autre part, si $u \leq t$, on a

$$\varphi(u) = \beta_\eta(\xi_x(u), \eta_x(t)) = \beta_\eta(\xi_x(u), \eta_x(u)) + \beta_\eta(\eta_x(u), \eta_x(t)) \geq -\alpha + t - u.$$

Si $u < t - 2\alpha$, on en déduit que $\varphi(u) > \varphi(t)$. Par stricte convexité de φ , le minimum de φ est nécessairement atteint en $u_0 \geq t - 2\alpha$, ce qui signifie exactement que η appartient à $V(x, \xi, t - 2\alpha)$.

Réciproquement, si $\eta \in V(x, \xi, t + \alpha)$, d'après la proposition 2.1, le sommet $\xi_x(s_0)$ du triangle intérieur à (x, ξ, η) vérifie $s_0 \geq t$, d'où on déduit $d(\xi_x(t), \eta_x(t)) \leq d(\xi_x(s_0), \eta_x(s_0)) \leq \alpha$. \square

Nous détaillons maintenant certaines propriétés de ces ensembles $V(x, \xi, t)$ qui nous serviront au cours de la preuve du théorème 3.4. La première est élémentaire :

Lemme 2.6 *Pour tout $x \in \widetilde{M}$, $\xi \in \partial\widetilde{M}$ et $t \geq 0$, si $\eta \in V(x, \xi, t)$, alors la distance de $\xi_x(t)$ à $(x\eta)$ est inférieure à 2α . En particulier, $t - 4\alpha \leq \beta_\eta(x, \xi_x(t)) \leq t$.*

Démonstration: L'inégalité triangulaire donne $\beta_\eta(x, \xi_x(t)) \leq t$. Le lemme 2.3 implique $d(\xi_x(t), [x\eta]) \leq 2\alpha$. Par le lemme 2.2, nous en déduisons $\beta_\eta(x, \xi_x(t)) \geq t - 4\alpha$. \square

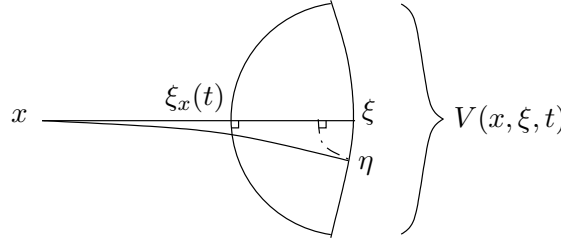


FIG. 3 – $V(x, \xi, t)$

Dans le lemme suivant, nous montrons comment varient ces ensembles $V(x, \xi, t)$ quand on fait varier légèrement ξ ou x .

Notons le fait évident suivant : si $\eta \in B_x(\xi, r/2)$, alors $B_x(\eta, r/2) \subset B_x(\xi, r) \subset B_x(\eta, 3r/2)$. La partie b- du lemme ci-dessous est une simple reformulation de cette inclusion, et en découle directement si on utilise la proposition 2.4 et le lemme 2.5.

Lemme 2.7 a- *Soient $x \in \widetilde{M}$, $\xi \in \partial\widetilde{M}$, et $t \geq 6\alpha$. Alors pour tout $\eta \in \mathcal{D}(x, \xi, t)$ (i.e. tel que $d(\xi_x(t), \eta_x(t)) \leq \alpha$), on a*

$$V(x, \eta, t) \subset V(x, \xi, t - 6\alpha).$$

b- *Posons $K_1 = 6\alpha > 0$. Soient $x \in \widetilde{M}$, $\xi \in \partial\widetilde{M}$ et $t \geq K_1$. Pour tout $\eta \in V(x, \xi, t + K_1 + \alpha)$, on a :*

$$V(x, \eta, t + K_1) \subset V(x, \xi, t) \subset V(x, \eta, t - K_1)$$

c- *Pour tout $D > 0$, notons $K_2 = K_2(D) = 2D + 4\alpha > 0$. Soient x et y des points de \widetilde{M} tels que $d(x, y) \leq D$, $\xi \in \partial\widetilde{M}$, et $t \geq K_2$. Alors :*

$$V(x, \xi, t + K_2) \subset V(y, \xi, t) \subset V(x, \xi, t - K_2).$$

Démonstration: a- Soient $\eta \in \mathcal{D}(x, \xi, t)$ et $\zeta \in V(x, \eta, t)$. Notons $\xi_x(u_0)$ le projeté de ζ sur le rayon $[x\xi]$. Par définition, u_0 minimise la fonction $u \rightarrow \varphi(u) = \beta_\zeta(\xi_x(u), \eta_x(t))$. Or

$$\varphi(t) = \beta_\zeta(\xi_x(t), \eta_x(t)) \leq d(\xi_x(t), \eta_x(t)) \leq \alpha$$

par hypothèse. Par ailleurs, si $u \leq t$, l'inégalité triangulaire et le lemme 2.6 donnent :

$$\varphi(u) = \beta_\zeta(\xi_x(u), \eta_x(u)) + \beta_\zeta(\eta_x(u), \eta_x(t)) \geq -\alpha + t - u - 4\alpha.$$

Autrement dit, si $0 \leq u < t - 6\alpha$, $\varphi(u) > \varphi(t)$. La stricte convexité de φ implique alors que son minimum est atteint en $u_0 \geq t - 6\alpha$. Ceci signifie exactement que $\zeta \in V(x, \xi, t - 6\alpha)$.

b- Si $\eta \in V(x, \xi, t + K_1 + \alpha)$, le lemme 2.5 donne

$$d(\xi_x(t), \eta_x(t)) \leq d(\xi_x(t + K_1), \eta_x(t + K_1)) \leq \alpha.$$

On en déduit, en appliquant deux fois le **a**, que $V(x, \xi, t) \subset V(x, \eta, t - K_1)$ et $V(x, \eta, t + K_1) \subset V(x, \xi, t)$, ce qui est le résultat souhaité.

c- Soit $\zeta \in V(y, \xi, t)$, avec $t \geq K_2$. Posons $\varphi(u) = \beta_\zeta(\xi_x(u), \xi_y(t))$. Si $d(x, y) \leq D$, comme les rayons $[x\xi]$ et $[y\xi]$ sont asymptotes, on a $d(\xi_x(u), \xi_y(u)) \leq d(x, y) \leq D$ pour tout $u \geq 0$. On en déduit $|\beta_\zeta(\xi_x(t), \xi_y(t))| \leq D$. Et pour tout $0 \leq u \leq t$, d'après le lemme 2.6,

$$\varphi(u) = \beta_\zeta(\xi_x(u), \xi_y(u)) + \beta_\zeta(\xi_y(u), \xi_y(t)) \geq -D + t - u - 4\alpha.$$

Comme φ est strictement convexe, le projeté $\xi_x(u_0)$ de ζ sur $(x\xi)$ vérifie $u_0 \geq t - 2D - 4\alpha = t - K_2$, ce qui montre que $V(y, \xi, t) \subset V(x, \xi, t - K_2)$. L'autre inclusion se prouve de la même manière. \square

Pour finir ce paragraphe, énonçons un dernier lemme qui nous servira par la suite, et qui découle immédiatement des lemmes 2.7 c, 2.5 et de la proposition 2.4 :

Lemme 2.8 *Soit $D > 0$ fixé. Il existe $\varepsilon > 0$, tel que pour tout $o \in \widetilde{M}$, et tout $x \in B(o, D)$ et tout $\xi \in \partial\widetilde{M}$:*

$$V(x, \xi, 0) \supset B_o(\xi, \varepsilon)$$

2.5 Action d'une isométrie parabolique sur le bord

Nous allons maintenant nous servir de ces ensembles $V(x, \xi, t)$ pour comprendre l'action d'une isométrie parabolique de \widetilde{M} sur le bord privé de son point fixe, ainsi que sur les horosphères qu'elle stabilise (i.e. celles qui sont centrées en son point fixe). Une isométrie parabolique, quand elle est itérée, attire tous les points du bord d'une part, et de \widetilde{M} d'autre part vers son point fixe. Ce que dit le lemme ci-dessous, c'est qu'on peut quantifier et relier entre eux ces déplacements.

Lemme 2.9 *Soient $o \in \widetilde{M}$, $\xi \in \partial\widetilde{M}$, et K un compact de $\partial\widetilde{M} \setminus \{\xi\}$. Il existe une constante $K_3 > 0$, telle que pour toute isométrie parabolique p fixant ξ , et tout $t \geq K_3$, on a :*

a- *Si $d(o, po) \geq 2t$, alors $pK \subset V(o, \xi, t - K_3)$ et pour tout $\eta \in K$,*

$$|\beta_{p\eta}(\xi(t), p\xi(t)) - d(o, po) + 2t| \leq 2K_3.$$

b- Si $d(o, po) \leq 2t$, alors $pK \cap V(o, \xi, t + K_3) = \emptyset$ et $|\beta_{p\eta}(\xi(t), p\xi(t))| \leq 2K_3$ pour tout $\eta \in K$.

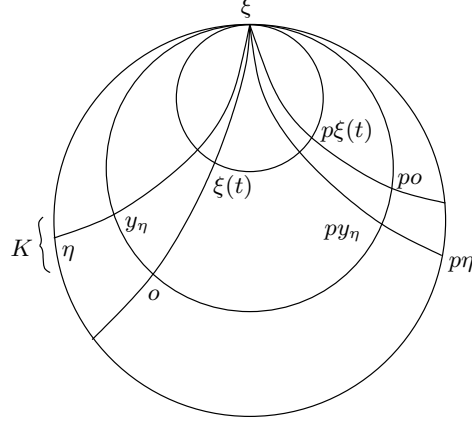


FIG. 4 – Lemme 2.9

Démonstration: Si $\eta \in K$, notons y_η l'intersection de la géodésique $(\xi\eta)$ et de l'horosphère centrée en ξ et passant par o . Par compacité de K , on a :

$$C(K, o, \xi) := \sup_{\eta \in K} d(o, y_\eta) < +\infty.$$

Notons $(\xi(s))_{s \geq 0}$ le rayon $[o\xi]$ et $(\xi_\eta(s))_{s \geq 0} \in \mathbf{R}$ la paramétrisation de la géodésique $(\eta\xi)$ positive sur le rayon $[y_\eta\xi]$. On a donc $y_\eta = \xi_\eta(0)$ et $o = \xi(0)$.

Considérons le triangle $(o, \xi, p\eta)$. Comme $\beta_\xi(o, py_\eta) = 0$, les sommets des côtés $[o\xi]$ et $[p\eta\xi]$ de son triangle intérieur s'écrivent $\xi(s_0)$ et $\xi_{p\eta}(s_0) = p\xi_\eta(s_0)$, avec $s_0 \geq 0$. L'inégalité triangulaire et la définition du triangle intérieur donnent facilement $2s_0 - \alpha \leq d(o, py_\eta) \leq 2s_0 + \alpha$. D'où on déduit, puisque $d(po, py_\eta) = d(o, y_\eta) \leq C(K, o, \xi)$,

$$2s_0 - C(K, o, \xi) - \alpha \leq d(o, po) \leq 2s_0 + C(K, o, \xi) + \alpha \quad (1)$$

D'après la proposition 2.1, le projeté de $p\eta$ sur $[o\xi]$ est à distance au plus α de $\xi(s_0)$. Posons $K_3 = C(K, o, \xi)/2 + 3\alpha/2$. Avec l'encadrement (1), l'inégalité $d(o, po) \geq 2t$ implique $p\eta \in V(o, \xi, t - K_3)$. Ceci étant vrai pour tout $\eta \in K$, on a bien $pK \subset V(o, \xi, t - K_3)$.

Si $d(o, po) \leq 2t$, on montre de même que $pK \cap V(o, \xi, t + K_3) = \emptyset$.

Il nous reste maintenant à estimer la quantité $\beta_{p\eta}(\xi(t), p\xi(t))$ pour $\eta \in \partial\widetilde{M}$. Remarquons d'abord que

$$|\beta_{p\eta}(p\xi_\eta(t), p\xi(t))| \leq d(\xi_\eta(t), \xi(t)) \leq d(y_\eta, o) \leq C(K, o, \xi).$$

Il nous suffit donc d'estimer $\beta_{p\eta}(\xi(t), p\xi_\eta(t))$. Si $s_0 \leq t$, alors

$$|\beta_{p\eta}(\xi(t), p\xi_\eta(t))| \leq d(\xi(t), p\xi_\eta(t)) \leq d(\xi(s_0), p\xi_\eta(s_0)) \leq \alpha.$$

Supposons maintenant $s_0 \geq t$, et notons $(c(t))_{t \geq 0}$ la paramétrisation du rayon géodésique $[op\eta]$. Le troisième sommet du triangle intérieur à $(o, \xi, p\eta)$ est alors $c(s_0)$. Par définition de ce triangle intérieur, on a alors $\beta_{p\eta}(c(s_0), p\xi_\eta(s_0)) = 0$, d'où on déduit que $\beta_{p\eta}(c(2s_0 - t), p\xi_\eta(t)) = 0$. D'autre part, on a aussi $|\beta_{p\eta}(\xi(t), c(t))| \leq d(\xi(t), c(t)) \leq \alpha$. A l'aide de toutes ces inégalités, on obtient :

$$\beta_{p\eta}(\xi(t), p\xi_\eta(t)) = \beta_{p\eta}(\xi(t), c(t)) + \beta_{p\eta}(c(t), c(2s_0 - t)) = \beta_{p\eta}(\xi(t), c(t)) + 2(s_0 - t),$$

puis $|\beta_{p\eta}(\xi(t), p\xi_\eta(t)) - (2s_0 - 2t)| \leq \alpha + C(K, o, \xi)$. Finalement, en utilisant la notation $u^+ = \max(u, 0)$ pour $u \in \mathbf{R}$, on peut rassembler les deux cas $s_0 \leq t$ et $s_0 \geq t$ ci-dessus pour obtenir pour tout $t \geq 0$:

$$(2s_0 - 2t)^+ - \alpha - C(K, o, \xi) \leq \beta_{p\eta}(\xi(t), p\xi_\eta(t)) \leq (2s_0 - 2t)^+ + \alpha + C(K, o, \xi). \quad (2)$$

Une manipulation élémentaire des encadrements (1) et (2) permet de conclure la preuve du lemme. \square

3 Mesures conformes et lemme de l'ombre

3.1 Densités conformes

Soit à présent Γ un groupe discret d'isométries de \widetilde{M} . Une *densité conforme* Γ -invariante de dimension $\delta > 0$ sur $\partial\widetilde{M}$ est une famille $\nu = (\nu_x)_{x \in \partial\widetilde{M}}$ de mesures finies sur $\partial\widetilde{M}$ qui vérifient la condition d'invariance $\nu_{\gamma x} = \gamma_* \nu_x$ pour tout $\gamma \in \Gamma$, et pour tous $(x, y) \in \widetilde{M}^2$ et $\xi \in \partial\widetilde{M}$:

$$\frac{d\nu_x}{d\nu_y}(\xi) = \exp(-\delta\beta_\xi(x, y)), \quad \nu_y - \text{p.s.}$$

Soit $o \in \widetilde{M}$ un point fixé dans toute la suite de ce paragraphe. La densité ν sera dite *normalisée* si ν_o est une probabilité.

L'*exposant critique* d'un groupe discret d'isométries Γ de \widetilde{M} est défini par :

$$\delta_\Gamma = \limsup_{T \rightarrow \infty} \frac{1}{T} \log \#\{\gamma \in \Gamma, d(o, \gamma o) \leq T\}.$$

C'est encore l'exposant critique de la série de Poincaré de Γ :

$$P(\Gamma, o, s) = \sum_{\gamma \in \Gamma} e^{-sd(o, \gamma o)}$$

Le groupe Γ est dit *de type divergent* si la série ci-dessus diverge en $s = \delta_\Gamma$. Si Γ est *non élémentaire*, c'est-à-dire si $\#\Lambda_\Gamma = +\infty$, alors δ_Γ est strictement

positif, et Roblin [24] a démontré que la limite supérieure ci-dessus est en fait une limite. Mais un tel résultat est inconnu pour les groupes élémentaires, par exemple les sous-groupes paraboliques de Γ . Pour démontrer le théorème 3.4, nous aurons besoin justement de supposer que c'est bien une limite, et plus encore : nous supposerons que pour tout sous-groupe parabolique Π de Γ , il existe une constante $D \geq 1$, telle que

$$\frac{1}{D} \exp(\delta_\Pi T) \leq \#\{p \in \Pi, d(o, po) \in [T, T + 1]\} \leq D \exp(\delta_\Pi T). \quad (3)$$

Cette hypothèse est apparue à plusieurs reprises dans la littérature, d'abord dans [15], mais aussi [11] par exemple, et semble nécessaire à chaque fois qu'on souhaite obtenir des estimées précises à l'intérieur des cusps. La proposition ci-dessous montre qu'elle est vérifiée dès que les cusps sont « raisonnables ».

Proposition 3.1 *L'hypothèse (3) est vérifiée dès que les cusps de M sont isométriques aux cusps d'une variété localement symétrique de rang un.*

Démonstration: Pour chaque sous-groupe parabolique Π , on peut vérifier cette hypothèse en supposant que o est dans le cusp considéré. Or le sous-groupe parabolique Π stabilise le cusp, donc Πo reste dans les relevés du cusp. La preuve consiste alors simplement à vérifier que dans les espaces localement symétriques, cette condition de croissance est vérifiée. Dans l'espace hyperbolique réel, c'est un simple calcul utilisant d'une part le fait qu'une isométrie parabolique p fixant le point ∞ (dans le modèle du demi-espace supérieur) agit par translation euclidienne sur les horosphères horizontales, et d'autre part l'équivalent $d(o, po) \simeq 2 \log d_{\text{eucl}}(o, po)$, où o est le point à hauteur (euclidienne) 1 sur l'axe vertical. Dans les espaces hyperboliques exotiques, il est encore possible d'obtenir un équivalent exact de cette distance $d(o, po)$ (voir Corlette-Iozzi [5, Formule 3.5]), ce qui permet de conclure (voir aussi une preuve complète dans [19, lemma 3.5]). \square

Cette hypothèse implique de manière immédiate que tout sous-groupe parabolique Π de Γ est divergent. Des travaux de Dal'bo, Otal et Peigné [7], on déduit le résultat suivant :

Théorème 3.2 (Dal'bo-Otal-Peigné [7]) *Si Γ est un groupe géométriquement fini dont tout sous-groupe parabolique Π est divergent, alors $\delta_\Pi < \delta_\Gamma$ et le groupe Γ est lui-même divergent.*

Si Γ est un groupe discret non élémentaire, un résultat originellement dû à Patterson [20] assure l'existence d'une densité conforme invariante de dimension δ_Γ à support Λ_Γ . L'étude d'abord faite par Sullivan [27] [28] en courbure constante, puis généralisée en courbure variable [29] montre aussi que toute densité δ -conforme invariante vérifie $\delta \geq \delta_\Gamma$. Lorsque Γ est divergent, ce qui est vérifié d'après le théorème ci-dessus sous notre hypothèse (3), on a de plus :

Proposition 3.3 *Si Γ est non élémentaire divergent, il existe une unique densité conforme invariante normalisée $\nu = (\nu_x)_{x \in \widetilde{M}}$ de dimension δ_Γ à support Λ_Γ , et elle est sans atomes. La mesure ν_o est alors appelée mesure de Patterson.*

Dans le paragraphe ci-dessous, nous travaillerons avec une densité conforme invariante de dimension quelconque, mais la densité donnée par la proposition ci-dessus sera privilégiée dans tout le paragraphe 4.

3.2 Lemme de l'ombre

Dans le cas d'une variété compacte à courbure négative, le lemme de l'ombre, originellement dû à Sullivan [27] en courbure constante, permet de montrer que pour tout $x \in \widetilde{M}$, la mesure de Patterson ν_x de Γ est la mesure de Hausdorff (de dimension δ_Γ) pour la distance de Gromov d_x sur $\partial\widetilde{M}$. En revanche, dans le cas d'une variété non compacte, la description de ν est beaucoup plus délicate. Le cas des variétés géométriquement finies de courbure constante fut décrit par Stratmann et Velani [26], et récemment généralisé aux variétés localement symétriques de rang 1 par F. Newberger dans [19]. Nous montrerons que cette description est encore valide pour les variétés géométriquement finies de courbure variable sous la condition (3). Pour cela, nous adapterons la preuve de M. Peigné [21] du résultat de Stratmann et Velani.

Les estimées du théorème ci-dessous se démontrent cusp par cusp, nous supposons donc dans ce paragraphe que M n'a qu'un seul cusp noté C_1 .

Rappelons les notations du paragraphe 2.1. Le coeur de Nielsen N_Γ est un convexe qui se décompose en $N_\Gamma = C_0 \sqcup C_1$, où C_0 est la partie compacte de la variété, de diamètre inférieur à Δ , et le cusp C_1 est le quotient de $\widetilde{C}_1 := \mathcal{H}_1 \cap \widetilde{C}(\Gamma)$ par Π , où \mathcal{H}_1 est une horoboule centrée au point parabolique $\xi_1 \in \Lambda_\Gamma$, et Π est le stabilisateur de ξ_1 dans Γ . On peut alors choisir un relevé \widetilde{C}_0 de C_0 à \widetilde{M} , qui soit connexe et de diamètre inférieur à Δ , et tel que les adhérences de \widetilde{C}_0 et \widetilde{C}_1 s'intersectent. On choisira une famille $\{\gamma_i\}_{i \geq 0}$ de représentants de Γ/Π , et on notera $\xi_i = \gamma_i \xi_1$ et \mathcal{H}_i l'horoboule $\gamma_i \mathcal{H}_1$. On a alors :

$$\Gamma \widetilde{C}_1 = \sqcup_{i=1}^{+\infty} \gamma_i \widetilde{C}_1 = \sqcup_{i=1}^{+\infty} \mathcal{H}_i \cap \widetilde{C}(\Gamma).$$

D'autre part, quitte à faire agir le stabilisateur $\gamma_i \Pi \gamma_i^{-1}$ de \mathcal{H}_i , nous pouvons supposer que pour tout $i \in \mathbf{N}$, $\gamma_i \widetilde{C}_0$ intersecte le rayon $[o\xi_i)$ (et le bord $\partial\mathcal{H}_i$ évidemment).

Rappelons pour finir que si $\xi \in \partial\widetilde{M}$, $\xi(t)$ désigne toujours le point à distance t de o sur le rayon géodésique $[o\xi)$.

Le théorème ci-dessous étend le Lemme de l'Ombre en courbure variable, permettant ainsi d'obtenir des estimées précises de la mesure des ombres sur le bord.

Théorème 3.4 *Soit $M = \widetilde{M}/\Gamma$ une variété géométriquement finie à un cusp C_1 , et Π un sous-groupe parabolique de Γ , tel qu'il existe une constante $D \geq 1$, telle que*

$$\frac{1}{D} \exp(\delta_\Pi T) \leq \#\{p \in \Pi, d(o, po) \in [T, T+1]\} \leq D \exp(\delta_\Pi T).$$

Alors pour toute densité conforme $\nu = (\nu_x)_{x \in \tilde{M}}$ Γ -invariante sans atomes normalisée de dimension $\delta \geq \delta_\Gamma$ et de support Λ_Γ , il existe des constantes $A_0 > 0$ et $A_1 > 0$ telles que pour tout $\xi \in \Lambda_\Gamma$ et $t \geq 0$:

a- si $\xi(t) \in \Gamma\tilde{C}_0$, alors $\frac{1}{A_0} \exp(-\delta t) \leq \nu_o(V(o, \xi, t)) \leq A_0 \exp(-\delta t)$,

b- si $\xi(t) \in \Gamma\tilde{C}_1$, alors :

$$\frac{1}{A_1} e^{-\delta t + (2\delta_\Pi - \delta) d(\xi(t), \Gamma o)} \leq \nu_o(V(o, \xi, t)) \leq A_1 e^{-\delta t + (2\delta_\Pi - \delta) d(\xi(t), \Gamma o)}.$$

En particulier, le théorème s'applique à l'unique densité δ_Γ -conforme invariante donnée par la proposition 3.3, qui est sans atomes.

3.3 Preuve du théorème 3.4

Le plan de la preuve est celui de Peigné [21] ; la différence essentielle réside dans la proposition 3.6, où se manifeste la courbure variable, et où l'hypothèse (3) est utilisée. Nous rappelons toutefois toute la démonstration pour la commodité du lecteur. Elle se fait en plusieurs étapes : le lemme 3.5 est le lemme de l'ombre classique, il traite le cas où $\xi(t)$ appartient au relevé $\Gamma\tilde{C}_0$ de la partie compacte. Le résultat clé est la proposition 3.6. De cette proposition découlent le corollaire 3.7, qui traite le cas où $\xi = \xi_i$ est un point parabolique et $\xi(t)$ appartient à l'horoboule \mathcal{H}_i centrée en ξ_i , et le lemme 3.8 qui permet de conclure la preuve du théorème 3.4 dans tous les autres cas.

Commençons par une remarque importante : si $\eta \in V(o, \xi, t)$, on a $|\beta_\eta(o, \xi(t)) - t| \leq 4\alpha$ par le lemme 2.6. En utilisant la relation de conformité de ν , on obtient :

$$\exp(-4\delta\alpha + \delta t) \leq \frac{\nu_{\xi(t)}(V(o, \xi, t))}{\nu_o(V(o, \xi, t))} \leq \exp(4\delta\alpha + \delta t). \quad (4)$$

Autrement dit, pour prouver le théorème 3.4, il suffit d'estimer $\nu_{\xi(t)}(V(o, \xi, t))$, ce que nous ferons par la suite.

Lemme 3.5 *Il existe une constante $B_0 > 0$ telle que si $\xi(t) \in \Gamma\tilde{C}_0$, alors*

$$\frac{1}{B_0} \leq \nu_{\xi(t)}(V(o, \xi, t)) \leq B_0.$$

Vu l'encadrement (4), le lemme 3.5 démontre la partie **a** du théorème, avec $A_0 = B_0 \exp(4\delta\alpha)$.

Démonstration: Si $\xi(t) \in \Gamma\tilde{C}_0$, il existe $\gamma \in \Gamma$ tel que $d(\xi(t), \gamma o) \leq \Delta$, avec Δ le diamètre de C_0 . Par conformité de ν , ceci implique :

$$e^{-\delta\Delta} \nu_{\xi(t)}(V(o, \xi, t)) \leq \nu_{\gamma o}(V(o, \xi, t)) = \nu_o(V(\gamma^{-1}o, \gamma^{-1}\xi, t)) \leq e^{\delta\Delta} \nu_{\xi(t)}(V(o, \xi, t)).$$

Comme ν_o est une probabilité, la quantité $\nu_{\xi(t)}(V(o, \xi, t))$ est majorée par $\exp(\delta\Delta)$. D'autre part, comme la distance de $\gamma^{-1}\xi(t)$ à o est inférieure à Δ , le lemme 2.8 donne

$$V(\gamma^{-1}o, \gamma^{-1}\xi, t) = V(\gamma^{-1}\xi(t), \gamma^{-1}\xi, 0) \supset B_o(\gamma^{-1}\xi, \varepsilon),$$

et comme ν est de support Λ_Γ , on en déduit :

$$1 \geq \nu_o(V(\gamma^{-1}o, \gamma^{-1}\xi, t)) \geq \inf_{\eta \in \Lambda_\Gamma} \nu_o(B_o(\eta, \varepsilon)) = C_\varepsilon > 0.$$

□

Considérons à présent le cas où $\xi = \xi_i$ est un point parabolique de Λ_Γ . On notera $(\xi_i(t))_{t \geq 0}$ le rayon $[o\xi_i)$, et s_i l'instant d'entrée du rayon $[o\xi_i)$ dans l'horoboule \mathcal{H}_i , soit encore $\xi_i(s_i) = [o\xi_i) \cap \partial\mathcal{H}_i$.

Proposition 3.6 *Il existe des constantes $B_1 > 0$ et $B_2 > 0$, telles que pour tout point parabolique ξ_i et tout $t \geq s_i$, on ait :*

$$\frac{1}{B_1} \exp((2\delta_\Pi - \delta)(t - s_i)) \leq \nu_{\xi_i(t)}(V(o, \xi_i, t)) \leq B_1 \exp((2\delta_\Pi - \delta)(t - s_i)), \quad \text{et}$$

$$\frac{1}{B_2} \exp((2\delta_\Pi - \delta)(t - s_i)) \leq \nu_{\xi_i(t)}(\partial\widetilde{M} \setminus V(o, \xi_i, t)) \leq B_2 \exp((2\delta_\Pi - \delta)(t - s_i)).$$

Corollaire 3.7 *Cette proposition démontre le théorème quand $\xi = \xi_i \in \Lambda_{pb}$ et $\xi_i(t) \in \mathcal{H}_i$.*

Démonstration du corollaire 3.7: En effet, dans ce cas, on a

$$|d(\xi(t), \Gamma o) - (t - s_i)| = |d(\xi(t), \Gamma o) - d(\xi(t), \Gamma\widetilde{C}_0)| \leq \Delta.$$

□

Démonstration de la proposition 3.6: La première étape est l'estimation des mesures $\nu_{\xi_1(t)}(V(o, \xi_1, t))$ et $\nu_{\xi_1(t)}(\partial\widetilde{M} \setminus V(o, \xi_1, t))$ quand $\xi_i = \xi_1$ et $\xi_1(t) \in \widetilde{C}_1$. A la fin de la preuve, nous expliquerons comment passer de ξ_1 à $\xi_i = \gamma_i \xi_1$.

Dans ce premier cas, vus les choix des relevés \widetilde{C}_0 et \widetilde{C}_1 de C_0 et C_1 , $\xi_1(s_1)$ est dans l'adhérence de \widetilde{C}_0 , donc à distance inférieure à Δ de o , de sorte que $s_1 \leq \Delta$. On peut donc oublier la contribution de s_1 dans l'estimée ci-dessus, ou plus exactement considérer qu'elle est intégrée dans les constantes B_1 et B_2 .

Soit \mathcal{D} un domaine fondamental *borélien* pour l'action de Π sur $\Lambda_\Gamma \setminus \{\xi_1\}$, i.e. satisfaisant à $\nu_x(\cup p\mathcal{D}) = \nu_x(\Lambda_\Gamma \setminus \{\xi_1\})$ et $\nu_x(\mathcal{D} \cap p\mathcal{D}) = 0$ pour tout $p \neq Id$. On le choisira relativement compact dans $\Lambda_\Gamma \setminus \{\xi_1\}$. Comme ν est sans atomes et de support Λ_Γ , on a pour tout x , $\nu_x(\Lambda_\Gamma \setminus \{\xi_1\}) = \nu_x(\partial\widetilde{M})$, d'où :

$$\sum_{\substack{p \in \Pi, \\ p\mathcal{D} \subset V(o, \xi_1, t)}} \nu_{\xi_1(t)}(p\mathcal{D}) \leq \nu_{\xi_1(t)}(V(o, \xi_1, t)) \leq \sum_{\substack{p \in \Pi, \\ p\mathcal{D} \cap V(o, \xi_1, t) \neq \emptyset}} \nu_{\xi_1(t)}(p\mathcal{D}).$$

En utilisant le lemme 2.9 avec $K = \mathcal{D}$, on obtient :

$$\sum_{\substack{p \in \Pi, \\ d(o, po) \geq 2t + 2K_3}} \nu_{\xi_1(t)}(p\mathcal{D}) \leq \nu_{\xi_1(t)}(V(o, \xi_1, t)) \leq \sum_{\substack{p \in \Pi, \\ d(o, po) \geq 2t - 2K_3}} \nu_{\xi_1(t)}(p\mathcal{D}). \quad (5)$$

De même, on trouve :

$$\sum_{\substack{p \in \Pi, \\ d(o, po) \leq 2t - 2K_3}} \nu_{\xi_1(t)}(p\mathcal{D}) \leq \nu_{\xi_1(t)}(\partial\widetilde{M} \setminus V(o, \xi_1, t)) \leq \sum_{\substack{p \in \Pi, \\ d(o, po) \leq 2t + 2K_3}} \nu_{\xi_1(t)}(p\mathcal{D}) \quad (6)$$

Aux constantes près, il nous suffit maintenant d'obtenir des estimées des séries

$$\sum_{\substack{p \in \Pi, \\ d(o, po) \geq 2t}} \nu_{\xi_1(t)}(p\mathcal{D}) \quad \text{et} \quad \sum_{\substack{p \in \Pi, \\ d(o, po) \leq 2t}} \nu_{\xi_1(t)}(p\mathcal{D}) \quad (7)$$

Nous devons donc calculer $\nu_{\xi_1(t)}(p\mathcal{D})$. Par conformité de ν , nous avons :

$$\nu_{\xi_1(t)}(p\mathcal{D}) = \int_{\mathcal{D}} e^{-\delta\beta_{p\eta}(\xi_1(t), p\xi_1(t))} d\nu_{\xi_1(t)}(\eta).$$

Le lemme 2.9 fournit une estimée de $\beta_{p\eta}(\xi_1(t), p\xi_1(t))$ en fonction de $d(o, po)$. Si $d(o, po) \leq 2t$, nous en déduisons :

$$\exp(-2\delta K_3) \leq \frac{\nu_{\xi_1(t)}(p\mathcal{D})}{\nu_{\xi_1(t)}(\mathcal{D})} \leq \exp(2\delta K_3).$$

Et si $d(o, po) \geq 2t$, alors :

$$\exp(-2\delta K_3 - \delta d(o, po) + 2\delta t) \leq \frac{\nu_{\xi_1(t)}(p\mathcal{D})}{\nu_{\xi_1(t)}(\mathcal{D})} \leq \exp(2\delta K_3 - \delta d(o, po) + 2\delta t).$$

Dans les deux cas, il reste à estimer $\nu_{\xi_1(t)}(\mathcal{D})$. Or par conformité de ν , on a :

$$\nu_{\xi_1(t)}(\mathcal{D}) = \int_{\mathcal{D}} e^{-\delta\beta_{\eta}(\xi_1(t), o)} d\nu_o(\eta). \quad (8)$$

Comme au paragraphe 2.5, notons y_η l'intersection de la géodésique $(\eta\xi_1)$ avec $\partial\mathcal{H}_1$. Lorsque η varie dans le compact \mathcal{D} de $\partial\widetilde{M} \setminus \{\xi_1\}$, la distance de o à la géodésique $(\eta\xi_1)$ est inférieure à la distance de o à y_η , elle-même majorée par une constante $C = C(\mathcal{D}, o, \xi_1)$. En notant $(\xi_\eta(s))_{s \geq 0}$ le rayon $[y_\eta\xi_1)$, par le lemme 2.2, nous avons :

$$0 \leq \beta_\eta(o, \xi_\eta(t)) + \beta_{\xi_1}(o, \xi_\eta(t)) = \beta_\eta(o, \xi_\eta(t)) + t \leq 2C.$$

D'autre part, on a $|\beta_\eta(\xi_1(t), \xi_\eta(t))| \leq d(\xi_1(t), \xi_\eta(t)) \leq C$, d'où finalement :

$$t - 3C \leq \beta_\eta(\xi_1(t), o) \leq t + C.$$

En reportant cet encadrement dans le calcul (8) ci-dessus de $\nu_{\xi_1(t)}(\mathcal{D})$, on obtient :

$$e^{-\delta C - \delta t} \nu_o(\mathcal{D}) \leq \nu_{\xi_1(t)}(\mathcal{D}) \leq e^{3\delta C - \delta t} \nu_o(\mathcal{D}).$$

Ainsi, aux constantes multiplicatives près, on est ramené à l'estimation des deux séries :

$$\sum_{d(o,po) \geq 2t} e^{-\delta d(o,po) + \delta t} \quad \text{et} \quad \sum_{d(o,po) \leq 2t} e^{-\delta t}$$

Notons $a_T = \#\{p \in \Pi, d(o,po) \in [T, T+1]\}$. Alors $a_T \asymp e^{\delta \pi T}$ d'après l'hypothèse (3). (La notation $f(t) \asymp g(t)$ signifie que pour tout $t \geq 0$, le quotient $f(t)/g(t)$ est compris entre deux constantes strictement positives.) Alors on a :

$$\sum_{d(o,po) \geq 2t} e^{-\delta d(o,po) + \delta t} \asymp e^{\delta t} \sum_{n=[2t]}^{+\infty} a_n e^{-\delta n} \asymp e^{\delta t} \sum_{n \geq [2t]} e^{(\delta \pi - \delta)n}$$

D'autre part, on sait que $\delta \geq \delta_\Gamma$ et $\delta_\Pi < \delta_\Gamma$. On en déduit l'estimée voulue :

$$\nu_{\xi_1(t)}(V(o, \xi_1, t)) \asymp e^{(2\delta \pi - \delta)t}.$$

La deuxième somme est comparable à

$$e^{-\delta t} \sum_{n=0}^{[2t]} a_n \asymp e^{-\delta t} \sum_{n=0}^{[2t]} e^{\delta \pi n} \asymp e^{(2\delta \pi - \delta)t},$$

d'où

$$\nu_{\xi_1(t)}(\partial \widetilde{M} \setminus V(o, \xi_1, t)) \asymp e^{(2\delta \pi - \delta)t}.$$

Il reste maintenant à considérer le cas où $\xi_i = \gamma_i \xi_1 \neq \xi_1$. Rappelons la notation $\xi_i(s_i) = [o \xi_i(t)] \cap \partial \mathcal{H}_i$. Par choix de γ_i , $\gamma_i \widetilde{C}_0$ intersecte le rayon $[o \xi_i)$ et son adhérence intersecte celle de \widetilde{C}_i . On en déduit que $\xi_i(s_i)$ est dans le bord de $\gamma_i \widetilde{C}_0$, d'où $d(\xi_i(s_i), \gamma_i o) \leq \Delta$. En utilisant le lemme 2.7c (avec $K_2 = K_2(\Delta)$), et le fait que $V(o, \xi_i, t) = V(\xi_i(s_i), \xi_i, t - s_i)$, on obtient l'encadrement :

$$V(\gamma_i o, \xi_i, t - s_i + K_2) \subset V(o, \xi_i, t) \subset V(\gamma_i o, \xi_i, t - s_i - K_2). \quad (9)$$

Notons $(\xi_1(u))_{u \geq 0}$ le rayon $[o \xi_1)$. Les rayons $(\xi_i(u + s_i))_{u \geq 0}$ et $(\gamma_i \xi_1(u))_{u \geq 0}$ sont asymptotes, d'où pour tout $t \geq s_i$:

$$d(\xi_i(t), \gamma_i \xi_1(t - s_i)) \leq d(\xi_i(s_i), \gamma_i \xi_1(0)) = d(\xi_i(s_i), \gamma_i o) \leq \Delta.$$

La conformité de ν donne pour tout $\eta \in \partial \widetilde{M}$:

$$\exp(-\delta \Delta) \leq \frac{d\nu_{\xi_i(t)}}{d\nu_{\gamma_i \xi_1(t - s_i)}}(\eta) \leq \exp(\delta \Delta). \quad (10)$$

Les encadrements (9) et (10) montrent qu'à des constantes multiplicatives près, il suffit de savoir estimer les quantités

$$\begin{aligned} \nu_{\gamma_i \xi_1(t - s_i)}(V(\gamma_i o, \gamma_i \xi_1, t - s_i)) &= \nu_{\xi_1(t - s_i)}(V(o, \xi_1, t - s_i)), \quad \text{et} \\ \nu_{\gamma_i \xi_1(t - s_i)}(\partial \widetilde{M} \setminus V(\gamma_i o, \gamma_i \xi_1, t - s_i)) &= \nu_{\xi_1(t - s_i)}(\partial \widetilde{M} \setminus V(o, \xi_1, t - s_i)). \end{aligned}$$

La première partie de la preuve s'applique alors pour donner les estimées voulues. Ceci conclut la démonstration de la proposition. \square

Il reste maintenant à traiter le cas général, ce qui est fait dans le lemme ci-dessous et conclut la preuve du théorème 3.4 :

Lemme 3.8 *Il existe une constante $B_3 > 0$, telle que si $\xi \in \Lambda_\Gamma$, et $\xi(t) \in \Gamma\tilde{C}_1$, alors :*

$$\frac{1}{B_3} \exp((2\delta_\Pi - \delta)d(\xi(t), \Gamma o)) \leq \nu_{\xi(t)}(V(o, \xi, t)) \leq B_3 \exp((2\delta_\Pi - \delta)d(\xi(t), \Gamma o))$$

Démonstration: Soit $\xi \in \Lambda_\Gamma$, et $i \in \mathbf{N}$ tel que $\xi(t) \in \tilde{C}_i$. Nous distinguerons trois cas selon les positions respectives de ξ et ξ_i .

Premier cas : $\xi_i \in V(o, \xi, t + K_1 + \alpha)$ (où K_1 est la constante donnée par le lemme 2.7b).

Montrons que la mesure $\nu_{\xi(t)}(V(o, \xi, t))$ est très proche de $\nu_{\xi_i(t)}(V(o, \xi_i, t)) \asymp e^{(2\delta_\Pi - \delta)(t - s_i)}$ (proposition 3.6), et que la distance de $\xi(t)$ à Γo est à peu près $t - s_i$.

Le lemme 2.7 b donne :

$$V(o, \xi_i, t + K_1) \subset V(o, \xi, t) \subset V(o, \xi_i, t - K_1).$$

D'autre part, pour tout $\eta \in \partial\tilde{M}$, l'inégalité triangulaire, puis le fait que $\xi_i \in V(o, \xi, t + K_1 + \alpha)$ donnent : $|\beta_\eta(\xi(t), \xi_i(t))| \leq d(\xi(t), \xi_i(t)) \leq \alpha$. Par conformité de ν , on en déduit :

$$e^{-\delta\alpha} \nu_{\xi_i(t)}(V(o, \xi_i, t + K_1)) \leq \nu_{\xi(t)}(V(o, \xi, t)) \leq e^{\delta\alpha} \nu_{\xi_i(t)}(V(o, \xi_i, t - K_1)).$$

La première estimée de la proposition 3.6 donne alors le résultat, puisque

$$|d(\xi(t), \Gamma o) - (t - s_i)| \leq |d(\xi(t), \Gamma o) - d(\xi_i(t), \Gamma o)| + |(t - s_i) - d(\xi_i(t), \Gamma o)| \leq \alpha + \Delta.$$

Deuxième cas : $\xi_i \notin V(o, \xi, t - K_1 - \alpha)$.

Le point ξ_i est alors plus proche du point antipodal de ξ sur $(o\xi)$, noté ξ' . Introduisons alors l'autre intersection o' de la géodésique $(o\xi)$ avec $\partial\mathcal{H}_i : o' =]\xi(t)\xi) \cap \partial\mathcal{H}_i$, et la distance $t' = d(\xi(t), o')$. On a alors $V(o, \xi, t) = \partial\tilde{M} \setminus V(o', \xi', t')$, et $\xi_i \in V(o', \xi', t' + K_1 + \alpha)$. Le lemme 2.7b donne

$$\partial\tilde{M} \setminus V(o', \xi_i, t' - K_1) \subset V(o, \xi, t) = \partial\tilde{M} \setminus V(o', \xi', t') \subset \partial\tilde{M} \setminus V(o', \xi_i, t' + K_1).$$

Aux constantes près, on est donc ramenés à l'estimation de $\nu_{\xi(t)}(\partial\tilde{M} \setminus V(o', \xi_i, t'))$.

Comme $o \in \tilde{C}(\Gamma)$ et $\xi \in \Lambda_\Gamma$, o' est aussi dans $\tilde{C}(\Gamma)$. De plus, par définition, o' appartient au bord de \mathcal{H}_i , donc au bord de $\Gamma\tilde{C}_0$. On peut donc trouver un $\gamma \in \Gamma$ tel que $d(o', \gamma o) = d(o', \Gamma o) \leq \Delta$. Aux constantes près, par le lemme 2.7c, on est ramené à estimer $\nu_{\xi(t)}(\partial\tilde{M} \setminus V(\gamma o, \xi_i, t'))$.

Notons $(c(s))_{s \geq 0}$ le rayon $[\gamma o \xi_i]$. En utilisant le fait que $\xi_i \in V(o', \xi', t' + K_1 + \alpha)$ et que $d(o', \gamma o) \leq \Delta$, par les lemmes 2.7c et 2.5, on obtient $d(c(t'), \xi(t)) \leq cste(\alpha, \Delta)$. Par conformité de ν , on en déduit :

$$\nu_{\xi(t)}(\partial \widetilde{M} \setminus V(\gamma o, \xi_i, t')) \asymp \nu_{c(t')}(\partial \widetilde{M} \setminus V(\gamma o, \xi_i, t'))$$

La proposition 3.6 donne : $\nu_{c(t')}(\partial \widetilde{M} \setminus V(\gamma o, \xi_i, t')) \asymp e^{(2\delta_{\mathbb{H}} - \delta)t'}$. En rassemblant les approximations successives ci-dessus, on en déduit

$$\nu_{\xi(t)}(V(o, \xi, t)) \asymp e^{(2\delta_{\mathbb{H}} - \delta)t'}$$

Il reste à voir que la distance de $\xi(t)$ à Γo est à peu près t' . Ceci découle du fait (vu ci-dessus) que $\xi(t)$ est à distance bornée de $c(t')$, et de l'égalité $d(c(t'), \Gamma o) = d(c(t'), \gamma o) = t'$.

Dernier cas : $\xi_i \in V(o, \xi, t - K_1 - \alpha) \setminus V(o, \xi, t + K_1 + \alpha)$.

On pose alors $t_1 = t - 2K_1 - 2\alpha$ et $t_2 = t + 2K_1 + 2\alpha$. On a alors $\xi_i \in V(o, \xi, t_1 + K_1 + \alpha)$ et $\xi_i \notin V(o, \xi, t_2 - K_1 - \alpha)$. D'où le résultat voulu, d'après les deux premiers cas ci-dessus appliqués respectivement à t_1 et t_2 . \square

Ceci termine donc la preuve du Lemme de l'Ombre en courbure négative variable. Nous allons à présent voir comment ces estimées permettent d'étudier la non divergence des horosphères.

4 Moyennes horosphériques

4.1 Définitions

Rappelons que $M = \Gamma \backslash \widetilde{M}$ est une variété géométriquement finie à courbure majorée par -1 . Le flot géodésique $g = (g^t)_{t \in \mathbf{R}}$ agissant sur $T^1 M$ est un flot hyperbolique, dont les variétés fortement instables se relèvent sur $T^1 \widetilde{M}$ en les variétés fortement instables du flot géodésique $\tilde{g} = (\tilde{g}^t)_{t \in \mathbf{R}}$ de $T^1 \widetilde{M}$. Sur $T^1 \widetilde{M}$, il existe une très bonne description géométrique de ces ensembles.

Une horosphère $H \subset \widetilde{M}$ centrée en ξ se relève à $T^1 \widetilde{M}$ en une *horosphère fortement instable* $H^+ := \{u \in T^1 \widetilde{M}, \pi(u) \in H, \text{ et } u^- = \xi\}$. C'est encore l'ensemble des vecteurs basés sur H orthogonaux à H , et pointant vers l'extérieur. Si $u \in T^1 \widetilde{M}$, nous noterons respectivement $H(u) \subset M$ l'horosphère de M centrée en u^- et passant par le point base $\pi(u)$ de u , et $H^+(u) \subset T^1 \widetilde{M}$ l'horosphère fortement instable contenant u . Les horosphères vues sur $T^1 \widetilde{M}$ sont les variétés fortement instables du flot géodésique \tilde{g} sur $T^1 \widetilde{M}$:

$$H^+(u) = \widetilde{W}^{su}(u) := \{w \in T^1 \widetilde{M}, \lim_{t \rightarrow +\infty} d(\tilde{g}^{-t} u, \tilde{g}^{-t} w) = 0\}$$

De la même manière, on définit l'*horosphère fortement stable* $H^-(u)$ de u par :

$$H^-(u) = \widetilde{W}^{ss}(u) := \{w \in T^1 \widetilde{M}, \lim_{t \rightarrow +\infty} d(\tilde{g}^t u, \tilde{g}^t w) = 0\}$$

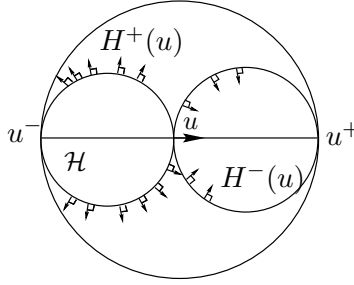


FIG. 5 – Horosphères et horoboules

Nous nous servirons de la famille $(d_{H^+})_{H^+ \in \mathcal{H}}$ des *distances de Hamenstädt* sur les horosphères de $T^1\tilde{M}$. Si $x \in \tilde{M}$ est un point quelconque, elles sont définies pour tous $(u, v) \in (H^+)^2$ par

$$d_{H^+}(u, v) = \exp\left(\frac{1}{2}\beta_{u^+}(x, u) + \frac{1}{2}\beta_{v^+}(x, v)\right) d_x(u^+, v^+)$$

En fait, nous les considérerons indifféremment comme des distances sur les horosphères de \tilde{M} et de $T^1\tilde{M}$. Elles sont bien définies (car l'expression ci-dessus ne dépend pas de x), elles sont invariantes par isométries au sens où pour toute isométrie g de $T^1\tilde{M}$, $d_{gH^+}(gu, gv) = d_{H^+}(u, v)$, et poussées par le flot, elles vérifient pour tout $t \in \mathbf{R}$:

$$d_{g^t H^+}(g^t u, g^t v) = e^t d_{H^+}(u, v).$$

Géométriquement (figure 6), $2 \log d_{H^+}(u, v)$ représente la distance « algébrique » entre les deux horosphères $H^-(u)$ et $H^-(v)$.

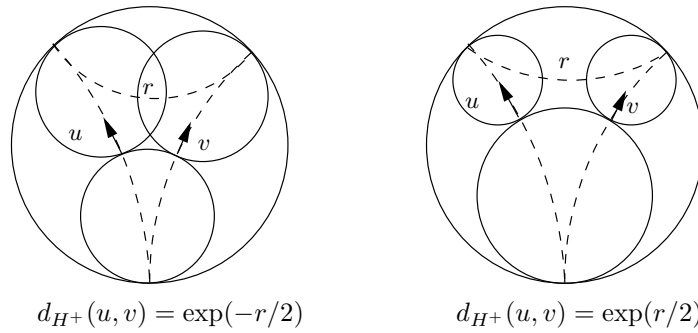


FIG. 6 – Distance horosphérique

Dans le modèle du demi-plan supérieur de l'espace hyperbolique \mathbb{H} , cette distance s'exprime très simplement. Si $H^+(u)$ est une horosphère horizontale,

i.e. si $u^- = +\infty$, et v est un vecteur de $H^+(u)$, alors on a $d_{H^+}(u, v) = \frac{d}{h}$, où d est la distance euclidienne entre les points base de u et v , et h la hauteur euclidienne de l'horosphère $H^+(u)$.

Rappelons que si Γ est un groupe géométriquement fini vérifiant l'hypothèse (3), il est divergent, et que par conséquent, il existe une unique densité conforme invariante normalisée $\nu = (\nu_x)_{x \in \widetilde{M}}$ de dimension δ_Γ sur Λ_Γ (proposition 3.3).

Pour pouvoir définir des moyennes horosphériques au paragraphe suivant, nous aurons besoin d'une famille de mesures sur les horosphères fortement instables, définies à partir de la mesure de Patterson ν_o .

Proposition 4.1 *La famille de mesures définies sur chaque horosphère H^+ par :*

$$d\mu_{H^+}(v) = \exp(\delta_\Gamma \beta_{v^+}(o, v)) d\nu_o(v^+)$$

est indépendante de o , Γ -invariante au sens où $\gamma_ \mu_{H^+} = \mu_{\gamma H^+}$, et passe donc au quotient par Γ en une famille de mesures sur les variétés fortement instables du flot géodésique. De plus, poussée par le flot, elle vérifie pour tout $t \in \mathbf{R}$:*

$$dg_*^{-t} \mu_{g^t H^+}(u) = \exp(\delta_\Gamma t) d\mu_{H^+}(u) \quad (11)$$

Remarquons également que, la mesure ν_o ayant pour support Λ_Γ , chaque mesure μ_{H^+} définie ci-dessus a pour support $\{v \in H^+, v^+ \in \Lambda_\Gamma\}$. En particulier, si H^+ est centrée dans Λ_Γ , μ_{H^+} a pour support $H^+ \cap \Omega$.

4.2 Non divergence des moyennes horosphériques

Quand M est géométriquement finie, la topologie des horosphères fortement instables est bien connue. Soit $\mathcal{E} = \{v \in T^1 M, v^- \in \Lambda_\Gamma\}$. D'après Dal'bo [6], les feuilles centrées en un point parabolique borné sont compactes, celles centrées en un point limite radial sont denses dans \mathcal{E} , et celles qui sont centrées hors de l'ensemble limite sont fermées et non compactes. Par conséquent, par analogie avec le cas d'un flot, nous appellerons \mathcal{E} l'*ensemble non errant du feuilletage horosphérique (instable)*. Il se décompose en une union disjointe

$$\mathcal{E} = \mathcal{E}_R \sqcup \mathcal{E}_{pb},$$

où \mathcal{E}_R (resp. \mathcal{E}_{pb}) est l'ensemble des vecteurs de \mathcal{E} centrés en un point limite radial (resp. un point parabolique borné).

En l'absence de paramétrisation naturelle des feuilles par un flot, nous nous intéressons ici à des moyennes sur de grandes boules horosphériques pour la mesure μ_{H^+} définie au paragraphe précédent : pour toute fonction continue $\psi : T^1 M \rightarrow \mathbf{R}$, et tout $r \geq 0$, nous posons :

$$M_{r,u}(\psi) = \frac{1}{\mu_{H^+}(B^+(u, r))} \int_{B^+(u, r)} \psi(v) d\mu_{H^+}(v).$$

Si $u \in \mathcal{E}_{pb}$, les probabilités $(M_{r,u})_{r>0}$ sont à support compact inclus dans $H^+(u)$. Mais si $u \in \mathcal{E}_R$, la mesure μ_{H^+} ayant pour support $H^+ \cap \Omega$, ces mesures

$(M_{r,u})_{r>0}$ sont à support dans l'ensemble non errant Ω du flot géodésique, qui est non compact lorsque M est géométriquement finie avec des cusps.

Pour quantifier la non divergence des horosphères, nous allons montrer qu'il n'y a pas de perte de masse des mesures $(M_{r,u})_{r>0}$ dans les cusps. Plus précisément, notre résultat est le suivant :

Théorème 4.2 *Soit $M = \widetilde{M}/\Gamma$ une variété géométriquement finie telle que tout sous-groupe parabolique maximal Π de Γ vérifie :*

$$\frac{1}{D} \exp(\delta_\Pi T) \leq \#\{p \in \Pi, d(o, po) \in [T, T+1]\} \leq D \exp(\delta_\Pi T).$$

Fixons $\varepsilon > 0$, et C un compact de T^1M . Alors il existe un compact $K_{\varepsilon,C} \subset \Omega$, tel que pour tout $u \in C \cap \mathcal{E}_R$ et tout $r \geq 0$,

$$M_{r,u}(K_{\varepsilon,C}) \geq 1 - \varepsilon$$

Démonstration: Nous allons étudier les moyennes sur le revêtement $T^1\widetilde{M}$, et trouver en fait pour tout $\varepsilon > 0$ et C comme ci-dessus un ensemble $\widetilde{K}_{\varepsilon,C}$, compact modulo Γ , qui satisfait l'assertion du théorème ci-dessus.

Première étape : Dans le cas où $C = \pi^{-1}(C_0)$ est l'ensemble des vecteurs basés dans C_0 , nous allons introduire le candidat à être le compact $K_{\varepsilon,C}$ du théorème, puis ramener l'énoncé ci-dessus à la recherche d'estimées de mesures de boules horosphériques.

Comme Γ est géométriquement fini, il n'a qu'un nombre fini de cusps, on supposera donc comme au paragraphe précédent qu'il n'en a qu'un seul. Rappelons que $\widetilde{C}(\Gamma)$ se décompose en une union disjointe du cusp et de la partie compacte : $\widetilde{C}(\Gamma) = \Gamma\widetilde{C}_1 \sqcup \Gamma\widetilde{C}_0$, avec $\widetilde{C}_1 = \mathcal{H}_1 \cap \widetilde{C}(\Gamma)$, \mathcal{H}_1 une horoboule centrée au point parabolique borné ξ_1 , et Π le stabilisateur de ξ_1 dans Γ . Nous renvoyons le lecteur aux notations introduites au paragraphe 3.2

Notons maintenant $\mathcal{H}_1^N \subset \mathcal{H}_1$ l'horoboule « rétrécie de N », c'est-à-dire l'horoboule dont le bord satisfait $\beta_{\xi_1}(\partial\mathcal{H}_1, \partial\mathcal{H}_1^N) = N > 0$. Le candidat à être $\widetilde{K}_{\varepsilon,C_0}$ est l'ensemble des vecteurs de $\Lambda_\Gamma^2 \times \mathbf{R}$ dont le point base appartient au complémentaire $\widetilde{C}(\Gamma) \setminus \Gamma\mathcal{H}_1^N$ de ces horoboules rétrécies, pour un $N = N(\varepsilon)$ suffisamment grand.

Nous fixons désormais $u \in \mathcal{E}_R$, et nous supposons que u est basé dans $\Gamma\widetilde{C}_0$, tout en gardant en mémoire que les raisonnements que nous ferons ne doivent dépendre que de C_0 . Le cas général d'un compact C quelconque sera traité dans la dernière étape.

Nous aurons besoin d'estimer la mesure $\mu_{H^+}(B^+(u,r) \cap \mathcal{H}_i^N)$, où par abus de notation, $B^+(u,r) \cap \mathcal{H}_i^N$ désigne l'ensemble des vecteurs de $B^+(u,r)$ dont le point base appartient à \mathcal{H}_i^N . Commençons donc par étudier l'intersection géométrique $H^+(u) \cap \mathcal{H}$, où \mathcal{H} est une horoboule quelconque centrée en un point $\xi \neq u^-$. Si cette intersection est non vide, introduisons le *vecteur le plus haut* de $H^+(u)$ dans \mathcal{H} , i.e. le vecteur v qui réalise le maximum de $w \rightarrow \beta_\xi(\partial\mathcal{H}, \pi(w))$ dans $H^+(u) \cap \mathcal{H}$. Par stricte convexité des horosphères, ce vecteur est bien défini

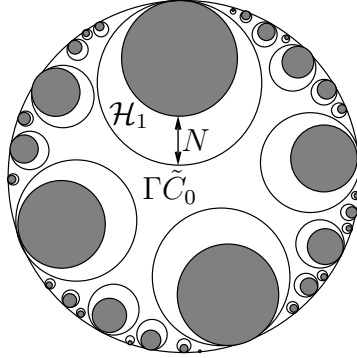


FIG. 7 – Horosphères rétrécies

et s'écrit $v = (u^-, \xi, s(u))$ dans les coordonnées $T^1\widetilde{M} \simeq \partial^2\widetilde{M} \times \mathbf{R}$. Nous noterons $h = \beta_\xi(\partial\mathcal{H}, \pi(v))$ la hauteur à laquelle monte $H^+(u)$ dans \mathcal{H} .

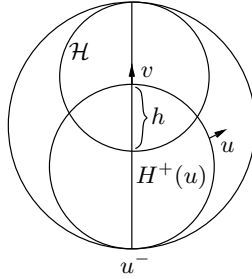


FIG. 8 – Intersection horosphère-horoboule

Lemme 4.3 Soit \mathcal{H} une horoboule centrée en $\xi \in \partial\widetilde{M}$, et $H^+(u)$ une horosphère fortement instable qui intersecte \mathcal{H} . Soient comme ci-dessus $v = (u^-, \xi, s(u))$ le vecteur le plus haut de $H^+(u)$ dans \mathcal{H} et $h = \beta_\xi(\partial\mathcal{H}, \pi(v))$. Si $h \geq \alpha$, on a :

$$B^+(v, e^{\frac{h-\alpha}{2}}) \subset H^+(u) \cap \mathcal{H} \subset B^+(v, e^{\frac{h+\alpha}{2}})$$

l'inclusion de droite restant vraie quand $0 \leq h < \alpha$.

Dans l'espace hyperbolique \mathbb{H} , un calcul donne précisément pour tout $h \geq 0$:

$$H^+(u) \cap \mathcal{H} = B^+(v, \sqrt{e^h - 1}).$$

Démonstration du lemme 4.3: Soit $w \in H^+(u) \cap \mathcal{H}$. On a alors $0 \leq \beta_\xi(\pi(w), \pi(v)) \leq h$. Si les horosphères (de \widetilde{M}) $\pi(H^-(v))$ et $\pi(H^-(w))$ s'intersectent, alors

$$d_{H^+}(v, w) \leq 1 \leq e^{\frac{h+\alpha}{2}}.$$

On peut donc les supposer disjointes. Notons alors $\mathcal{H}(v)$ (resp. $\mathcal{H}(w)$) l'horoboule dont le bord est $\pi(H^-(v))$ (resp. $\pi(H^-(w))$). Dans ce cas, le triangle (p, q, r) intérieur à (u^-, ξ, w^+) est à l'extérieur des horoboules $\mathcal{H}(v)$ et $\mathcal{H}(w)$. (En effet, si r appartenait à $\mathcal{H}(v)$, par définition du triangle intérieur, ceci impliquerait $p \in \mathcal{H}(v)$, puis $q \in \mathcal{H}(w)$ et enfin $r \in \mathcal{H}(w)$ d'où une contradiction. Les autres cas se traitent de façon analogue.)

Introduisons a_v et a_w les intersections respectives des horosphères $\pi(H^-(v))$ et $\pi(H^-(w))$ avec la géodésique $(\xi w^+) = (v^+ w^+)$. Par définition de d_{H^+} , on a $d_{H^+}(v, w) = \exp \frac{d(a_v, a_w)}{2}$. Or

$$\begin{aligned} d(a_v, a_w) = \beta_\xi(a_w, a_v) &= \beta_\xi(a_w, \pi(w)) + \beta_\xi(\pi(w), \pi(v)) \\ &\leq d(a_w, \pi(w)) + \beta_\xi(\pi(w), \pi(v)) \end{aligned}$$

Comme q et r n'appartiennent pas à $\mathcal{H}(w)$, on a $d(a_w, \pi(w)) \leq d(r, q) \leq \alpha$. D'autre part, $\pi(w) \in \mathcal{H}$, d'où $\beta_\xi(\pi(w), \pi(v)) \leq \beta_\xi(\partial\mathcal{H}, \pi(v)) = h$. Finalement, on en déduit $d(a_v, a_w) = 2 \log d_{H^+}(v, w) \leq h + \alpha$, et

$$H^+(u) \cap \mathcal{H} \subset B^+(v, e^{\frac{h+\alpha}{2}}).$$

Supposons maintenant que $\pi(w) \notin \mathcal{H}$, i.e. $\beta_\xi(\pi(w), \pi(v)) > h$. Alors, en reprenant les calculs ci-dessus, on obtient

$$d(a_v, a_w) = \beta_\xi(a_w, \pi(w)) + \beta_\xi(\pi(w), \pi(v)) > -\alpha + h.$$

Lorsque $-\alpha + h \geq 0$, ceci donne l'autre inclusion $B^+(v, e^{\frac{h-\alpha}{2}}) \subset H^+(u) \cap \mathcal{H}$.

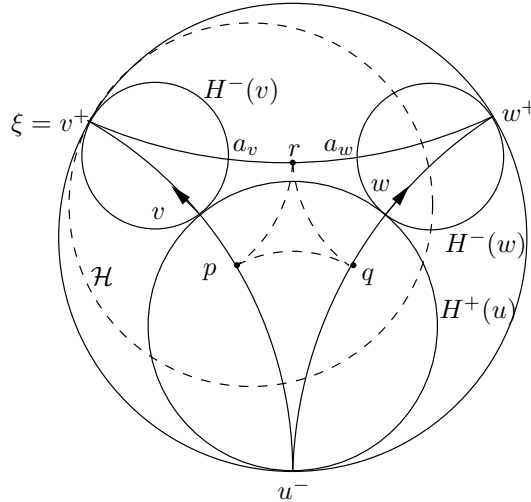


FIG. 9 – Lemme 4.3

□

Soit maintenant $\mathcal{H}_i = \gamma_i \mathcal{H}_1$ une horoboule intersectant $H^+(u)$, $v_i = (u^-, \xi_i, s(u))$ le vecteur le plus haut dans l'horoboule, et $h_i = \beta_{\xi_i}(\partial \mathcal{H}_i, \pi(v_i))$. On déduit du lemme 4.3 que si $h_i \geq N + \alpha$, alors

$$B^+(v_i, e^{\frac{h_i - N - \alpha}{2}}) \subset H^+(u) \cap \mathcal{H}_i^N \subset B^+(v_i, e^{\frac{h_i - N + \alpha}{2}})$$

l'inclusion de droite restant vraie pour $h_i \geq N$. Si $h_i \leq N$, on a trivialement $H^+(u) \cap \mathcal{H}_i^N = \emptyset$.

On ne regarde donc que les $h_i \geq N$. Rappelons que nous cherchons $N = N(\varepsilon) > 0$ assez grand pour que, pour tout $u \in \mathcal{E}_R \cap C_0$,

$$\frac{\mu_{H^+}(B^+(u, r) \cap \Gamma \mathcal{H}_1^N)}{\mu_{H^+}(B^+(u, r))} \leq \varepsilon. \quad (12)$$

Introduisons l'ensemble $I_{u,r,N}$ des $i \in \mathbf{N}$, tels que $B^+(u, r) \cap \mathcal{H}_i^N \neq \emptyset$. (On a donc $h_i \geq N$ pour $i \in I_{u,r,N}$.) A l'aide du lemme 4.3, on peut majorer le numérateur de (12) ci-dessus par :

$$\sum_{i \in I_{u,r,N}} \mu_{H^+}(B^+(v_i, e^{\frac{h_i - N + \alpha}{2}})).$$

Quitte à remplacer N par $N - \alpha$, nous oublierons désormais la constante α dans l'expression ci-dessus.

Pour minorer le dénominateur, rappelons que les horoboules \mathcal{H}_i sont deux à deux disjointes, et donc les boules $B^+(v_i, e^{h_i/2})$ aussi. Ce dénominateur est donc minoré par

$$\sum_{i \in I_{u,r,N}} \mu_{H^+}(B^+(u, r) \cap B^+(v_i, e^{h_i/2})).$$

Dans la majoration du numérateur, les boules $B^+(u, r)$ n'interviennent plus que via l'ensemble d'indices $I_{u,r,N}$. Pour le dénominateur, le problème est qu'il n'y a aucune raison pour que les boules $B^+(v_i, e^{h_i/2})$ soient totalement incluses dans $B^+(u, r)$. En revanche, comme $u \in \Gamma \tilde{C}_0$, u n'appartient à aucune horoboule \mathcal{H}_i , et si $i \in I_{u,r,N}$, alors $B^+(u, r)$ intersecte $B^+(v_i, e^{\frac{h_i - N}{2}})$, d'où :

$$e^{h_i/2} \leq d_{H^+}(u, v_i) \leq r + e^{\frac{h_i - N}{2}}.$$

Si $N \geq 2 \log 3$, on en déduit pour tout $i \in I_{u,r,N}$:

$$B^+(v_i, e^{h_i/2}) \subset B^+(u, 3r).$$

Le dénominateur est donc minoré par :

$$\frac{\mu_{H^+}(B^+(u, r))}{\mu_{H^+}(B^+(u, 3r))} \times \sum_{i \in I_{u,r,N}} \mu_{H^+}(B^+(v_i, e^{\frac{h_i - N}{2}})).$$

Pour finir, on obtient la majoration suivante (pour $N \geq 2 \log 3$) :

$$\frac{\mu_{H^+}(B^+(u, r) \cap \Gamma \mathcal{H}_1^N)}{\mu_{H^+}(B^+(u, r))} \leq \frac{\sum_{i \in I_{u,r,N}} \mu_{H^+}(B^+(v_i, e^{\frac{h_i-N}{2}}))}{\sum_{i \in I_{u,r,N}} \mu_{H^+}(B^+(v_i, e^{h_i/2}))} \times \frac{\mu_{H^+}(B^+(u, 3r))}{\mu_{H^+}(B^+(u, r))}.$$

Dans la deuxième étape, nous majorons le premier quotient par ε pour N assez grand. A la troisième étape, nous montrons que le deuxième quotient est borné uniformément en $u \in \mathcal{E}_R \cap \Gamma \tilde{C}_0$ et $r > 0$. Pour finir, la quatrième étape traitera le cas d'un compact C quelconque différent de C_0 .

Deuxième étape : Pour tout $\varepsilon > 0$, il existe $N = N(\varepsilon) > 0$, tel que pour tout $u \in \mathcal{E}_R \cap \Gamma \tilde{C}_0$, tout $r > 0$ et $i \in I_{u,r,N}$, on a :

$$\frac{\mu_{H^+}(B^+(v_i, e^{(h_i-N)/2}))}{\mu_{H^+}(B^+(v_i, e^{h_i/2}))} \leq \varepsilon. \quad (13)$$

Notons $w_i = g^{-h_i} v_i \in \partial \mathcal{H}_i$. D'après la relation (11) du paragraphe 4.1, la quantité ci-dessus est encore égale à :

$$\frac{\mu_{H^+(w_i)}(B^+(w_i, e^{(-h_i-N)/2}))}{\mu_{H^+(w_i)}(B^+(w_i, e^{-h_i/2}))}.$$

Remarquons qu'à i fixé, la quantité ci-dessus tend clairement vers 0 quand $N \rightarrow \infty$; mais la difficulté vient du fait qu'on cherche une uniformité en $i \in I_{u,r,N}$.

Pour tout i , notons $x_i \in \tilde{M}$ le point base de w_i , et $\xi_i = \gamma_i \xi_1 \in \Lambda_{pb}$ le point du bord vers lequel il pointe. Remarquons que $x_i \in \tilde{C}(\Gamma)$, puisque $w_i \in \Lambda_{\Gamma}^2 \times \mathbf{R}$. Rappelons que la mesure μ_{H^+} est définie pour $x \in \tilde{M}$ quelconque par :

$$d\mu_{H^+}(v) = \exp(\delta_{\Gamma} \beta_{v^+}(x, v)) d\nu_x(v^+),$$

avec ν_x la mesure de Patterson sur $\partial \tilde{M}$ vue du point x . En particulier, si $x = x_i$, la quantité $\exp(\delta_{\Gamma} \beta_{v^+}(x_i, v))$ est bornée par $\exp \delta_{\Gamma} d(x_i, \pi(v)) \leq e^{\delta_{\Gamma} \alpha}$ pour tout $v \in B^+(w_i, e^{-h_i/2}) \subset B^+(w_i, 1)$.

La quantité à estimer est donc uniformément proche de

$$\frac{\nu_{x_i}(B^+(w_i, e^{(-h_i-N)/2}))}{\nu_{x_i}(B^+(w_i, e^{-h_i/2}))},$$

où par abus de notation, $B^+(w_i, e^{(\dots)/2})$ désigne l'image dans $\partial \tilde{M}$ de la boule horosphérique par la projection naturelle de $H^+(w_i)$ dans $\partial \tilde{M}$ qui à $w = (u^-, w^+, s(w_i))$ associe w^+ .

Soient $x \in \tilde{M}$, $\xi \in \partial \tilde{M}$ et $t \in \mathbf{R}^+$; rappelons que $V(x, \xi, t) \subset \partial \tilde{M}$ est l'ensemble des points $\eta \in \partial \tilde{M}$ dont le projeté sur le rayon géodésique $[x, \xi)$ est à distance supérieure à t de x . Nous avons alors :

Lemme 4.4 Si on note P_w la projection naturelle de $H^+(w)$ dans $\partial\widetilde{M} \setminus \{w^-\}$, et $x = \pi(w)$ le point base de w dans \widetilde{M} , on a pour tout $s \geq \alpha$:

$$V(x, w^+, s + \alpha) \subset P_w(B^+(w, e^{-s})) \subset V(x, w^+, s - \alpha).$$

Démonstration: Ecrivons $w = (w^-, w^+, s(w))$. Soit $s \geq 0$ et $z \in B^+(w, e^{-s})$. Considérons le triangle idéal (w^-, w^+, z^+) , et son triangle intérieur (p, q, r) , dont le diamètre est borné par α .

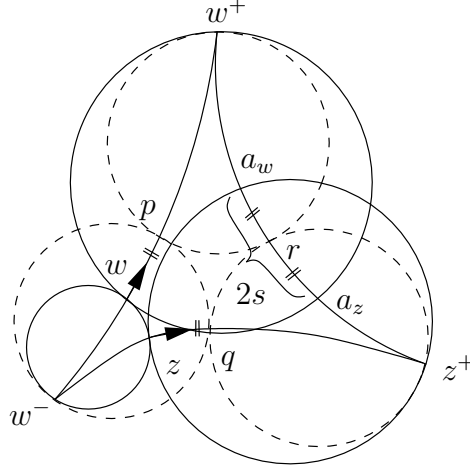


FIG. 10 – Lemme 4.4

Notons $a_w = (w^+z^+) \cap H^-(z)$ et $a_z = (w^+z^+) \cap H^-(w)$. On a $d_{H^+}(w, z) = e^{-d(a_w, a_z)/2} \leq e^{-s}$, d'où $d(a_w, a_z) \geq 2s$. D'autre part, en observant les appartenances des différents points aux diverses horosphères, on trouve

$$\begin{aligned} d(a_w, r) &= \beta_{z^+}(a_w, r) = \beta_{z^+}(\pi(z), q) = d(\pi(z), q) \\ &= \beta_{w^-}(q, \pi(z)) = \beta_{w^-}(p, \pi(w)) = d(w, p) \\ &= \beta_{w^+}(\pi(w), p) = \beta_{w^+}(a_z, r) = d(a_z, r) \end{aligned}$$

donc toutes ces distances sont égales à $d(a_w, a_z)/2 \geq s$. Le triangle (w^-, w^+, z^+) étant fin (proposition 2.1), le projeté de z^+ sur $[ww^+]$ est à distance inférieure ou égale à α de p , et $d(w, p) \geq s$ d'après ci-dessus. Donc $z \in V(x, w^+, s - \alpha)$. Le même type d'arguments montre que si $z \in V(x, w^+, s + \alpha)$, alors $d_{H^+}(w, z) \leq \exp(-s)$. \square

Nous sommes donc ramenés à estimer la quantité :

$$\frac{\nu_{x_i}(V(x_i, \xi_i, \frac{h_i+N}{2}))}{\nu_{x_i}(V(x_i, \xi_i, \frac{h_i}{2}))}.$$

Le point base x_i de w_i appartient à $\partial\mathcal{H}_i \cap \tilde{C}(\Gamma)$. Il est donc dans le bord de $\gamma\tilde{C}_0$, pour un certain $\gamma \in \Gamma$ tel que $\gamma\mathcal{H}_1 = \mathcal{H}_i$, et donc $\gamma\xi_1 = \xi_i$. On en déduit $d(x_i, \gamma o) \leq \text{diam}(\tilde{C}_0) = \Delta$. En utilisant la Γ -invariance et la conformité de $\nu = (\nu_x)_{x \in \tilde{M}}$, ainsi que le lemme 2.7c, on trouve que la quantité ci-dessus est proche, à des constantes uniformes près, de :

$$\frac{\nu_o(V(o, \xi_1, \frac{h_i+N}{2}))}{\nu_o(V(o, \xi_1, \frac{h_i}{2}))}.$$

A l'aide du théorème 3.4, on peut estimer cette quantité :

$$\frac{\nu_o(V(o, \xi_1, \frac{h_i+N}{2}))}{\nu_o(V(o, \xi_1, \frac{h_i}{2}))} \leq A_1^2 \exp\left(2(\delta_\Pi - \delta_\Gamma)\left(\frac{h_i+N}{2} - \frac{h_i}{2}\right)\right) = A_1^2 \exp(\delta_\Pi - \delta_\Gamma)N.$$

Ceci tend vers 0 uniformément en i quand $N \rightarrow +\infty$. (Remarquons qu'on n'a utilisé jusqu'à maintenant qu'une partie du théorème 3.4, la proposition 3.6.)

Troisième étape :

Lemme 4.5 *Il existe une constante $C > 0$, telle que pour tout $u \in \mathcal{E}_R$ et tout $r > 0$, on a :*

$$\frac{\mu_{H^+}(B^+(u, 3r))}{\mu_{H^+}(B^+(u, r))} \leq C.$$

Démonstration: Comme $u^- \in \Lambda_R$, on peut définir $s \geq 0$ le plus petit réel supérieur à $\log 3r$, tel que $g^{-s}u \in \Gamma\tilde{C}_0$. On a alors :

$$\frac{\mu_{H^+}(B^+(u, 3r))}{\mu_{H^+}(B^+(u, r))} = \frac{\mu_{H^+}(B^+(g^{-s}u, 3re^{-s}))}{\mu_{H^+}(B^+(g^{-s}u, re^{-s}))}.$$

Or il existe $\gamma \in \Gamma$, tel que $d(\gamma o, g^{-s}u) \leq \Delta$. Par les lemmes 4.4, 2.7b, la conformité et l'invariance de ν par Γ , la quantité ci-dessus est donc, à des constantes uniformes près, proche de :

$$\frac{\nu_o(V(o, \gamma^{-1}u^+, s - \log r - \log 3))}{\nu_o(V(o, \gamma^{-1}u^+, s - \log r))}.$$

Les deux points du rayon $[o\gamma^{-1}u^+)$ à distance respective $s - \log r - \log 3$ et $s - \log r$ de o étant à distance $\log 3$ l'un de l'autre, on peut supposer qu'ils sont simultanément soit dans $\Gamma\tilde{C}_0$, soit dans $\Gamma\tilde{C}_1$. Dans le premier cas, d'après le théorème 3.4, la quantité ci-dessus est majorée par $A_0^2 \exp(\delta_\Gamma \log 3)$. Dans le second cas, elle est inférieure à

$$A_1^2 \exp(\delta_\Gamma \log 3 + |2\delta_\Pi - \delta_\Gamma| \log 3).$$

Ceci conclut la preuve du lemme. \square

Quatrième et dernière étape : Il reste pour démontrer le théorème à traiter le cas d'un compact C quelconque de Ω . Quitte à le décomposer en une union

de plus petits compacts, on peut supposer qu'il existe un $T_0 > 0$, tel que $\pi(g^{-T_0}C) \subset \tilde{C}_0$. Alors, il est facile de voir que le compact $K_{\varepsilon,C} = g^{T_0}(K_{\varepsilon,C_0})$ convient. \square

Références

- [1] Bekka, M. Bachir ; Mayer, Matthias *Ergodic theory and topological dynamics of group actions on homogeneous spaces*. London Mathematical Society Lecture Note Series, **269**. Cambridge University Press, Cambridge, 2000.
- [2] Bourdon, Marc *Structure conforme au bord et flot géodésique d'un CAT(-1)-espace*. Enseign. Math. (2) **41** (1995), no. 1-2, 63–102.
- [3] Bowditch, B. H. *Geometrical finiteness with variable negative curvature*. Duke Math. J. **77** (1995), no. 1, 229–274.
- [4] Coornaert, M. ; Delzant, T. ; Papadopoulos, A. *Géométrie et théorie des groupes*. Les groupes hyperboliques de Gromov. Lecture Notes in Mathematics, 1441. Springer-Verlag, Berlin, 1990.
- [5] Corlette, Kevin ; Iozzi, Alessandra *Limit sets of discrete groups of isometries of exotic hyperbolic spaces*. Trans. Amer. Math. Soc. **351** (1999), no. 4, 1507–1530.
- [6] Dal'bo, Françoise *Topologie du feuilletage fortement stable*. Ann. Inst. Fourier (Grenoble) **50** (2000), no. 3, 981–993.
- [7] Dal'bo, Françoise ; Otal, Jean-Pierre ; Peigné, Marc *Séries de Poincaré des groupes géométriquement finis*. Israel J. Math. **118** (2000), 109–124.
- [8] Dani, S.G. *On uniformly distributed orbits of certain horocycle flows*, Ergodic Theory Dyn. Syst. **2**, 139-158 (1982).
- [9] Dani, S. G. *On Orbits of unipotent flows on homogeneous spaces, II* Ergodic Theory Dyn. Systems **6** (1986), 167-182.
- [10] Eberlein, Patrick B. *Geometry of nonpositively curved manifolds*. Chicago Lectures in Mathematics. University of Chicago Press, Chicago, IL, 1996.
- [11] Enriquez, Nathanaël ; Franchi, Jacques *Masse des pointes, temps de retour et enroulements en courbure négative*. Bull. Soc. Math. France **130** (2002), no. 3, 349–386.
- [12] Ghys, Étienne ; de la Harpe, Pierre *Sur les groupes hyperboliques d'après Mikhael Gromov* (French) (Bern, 1988), 1–25, Progr. Math., **83**, Birkhäuser Boston, Boston, MA, 1990.
- [13] Hamenstädt, Ursula *A new description of the Bowen-Margulis measure*, Ergodic Theory Dyn. Systems **9** (1989) 455-464.
- [14] Hedlund, G.A. *Fuchsian groups and transitive horocycles*, Duke Math. J. **2** (1936), 530-542.

- [15] Hersonsky, Sa'ar ; Paulin, Frédéric, *Counting orbit points in coverings of negatively curved manifolds and Hausdorff dimension of cusp excursions*, Prépublication ENS Ulm (2001).
- [16] Kaimanovich, Vadim A. *Invariant measures for the geodesic flow and measures at infinity on negatively curved manifolds* Ann. I.H.P., Physique Théorique **53**, n. 4 (1990) 361-393.
- [17] Margulis G.A. *On the action of unipotent groups in the space of lattices*. proc. of the Summer School on Groups Representations, Budapest, Bolyai Janos Math. Soc. (1971) 365-370.
- [18] Minsky, Yair ; Weiss, Barak *Nondivergence of horocyclic flows on moduli space*. J. Reine Angew. Math. **552** (2002), 131–177.
- [19] Newberger, Florence *On the Patterson-Sullivan measure for geometrically finite groups acting on complex or quaternionic hyperbolic spaces*, prépublication (2003).
- [20] Patterson, S. J. *The limit set of a Fuchsian group*. Acta Math. **136** (1976), no. 3-4, 241–273.
- [21] Peigné, Marc *Mesures de Hausdorff de l'ensemble limite de groupes kleinien géométriquement finis*, Notes du groupe de travail de systèmes dynamiques, Orléans, 1999-2000.
- [22] Ratner, Marina *Raghunathan's conjectures for $SL(2, \mathbf{R})$* . Israel J. Math. **80** (1992), no. 1-2, 1–31.
- [23] Roblin, Thomas *Ergodicité et unique ergodicité du feuilletage horosphérique, mélange du flot géodésique et équidistributions diverses dans les groupes discrets en courbure négative*. (2001) Prépublication de l'Institut de Recherche Mathématique de Rennes.
- [24] Roblin, Thomas *Sur la fonction orbitale des groupes discrets en courbure négative*. Ann. Inst. Fourier (Grenoble) **52** (2002), no. 1, 145–151.
- [25] Rudolph, Daniel J. *Ergodic behaviour of Sullivan's geometric measure on a geometrically finite hyperbolic manifold*. Ergodic Theory Dynam. Systems **2** (1982), no. 3-4, 491–512
- [26] Stratmann, B. ; Velani, S. L. *The Patterson measure for geometrically finite groups with parabolic elements, new and old*. Proc. London Math. Soc. (3) **71** (1995), no. 1, 197–220.
- [27] Sullivan, Dennis *The density at infinity of a discrete group of hyperbolic motions* Publ. Math. I.H.E.S **50** (1979) 171-202.
- [28] Sullivan, Dennis *Entropy, Hausdorff measures old and new, and limit sets of geometrically finite Kleinian groups*. Acta Math. **153** (1984), no. 3-4, 259–277.
- [29] Yue, C. *The ergodic Theory of discrete isometry groups on manifolds of variable negative curvature* Trans. of the Am. Math. Soc. **348**, no.12 (1996) 4965-5005.